

Fixpunkte und Stabilitätsanalyse

Themenüberblick

- Motivation
- 1D-Probleme
- Bifurkationen
- 2D-Probleme
 - Fixpunkttypen
 - Lotka-Volterra-Modelle

Motivation

- Bisher: Lineare Dynamik
- Jetzt: Nichtlineare Systeme
- Ohne explizite Lösung
 - Fixpunkte !!!

1D-Probleme

- Betrachte Systeme der Form $\dot{x} = f(x)$
- Einfaches Beispiel: $\dot{x} = \sin x$
- Explizite Lösung der DGL mit Separation

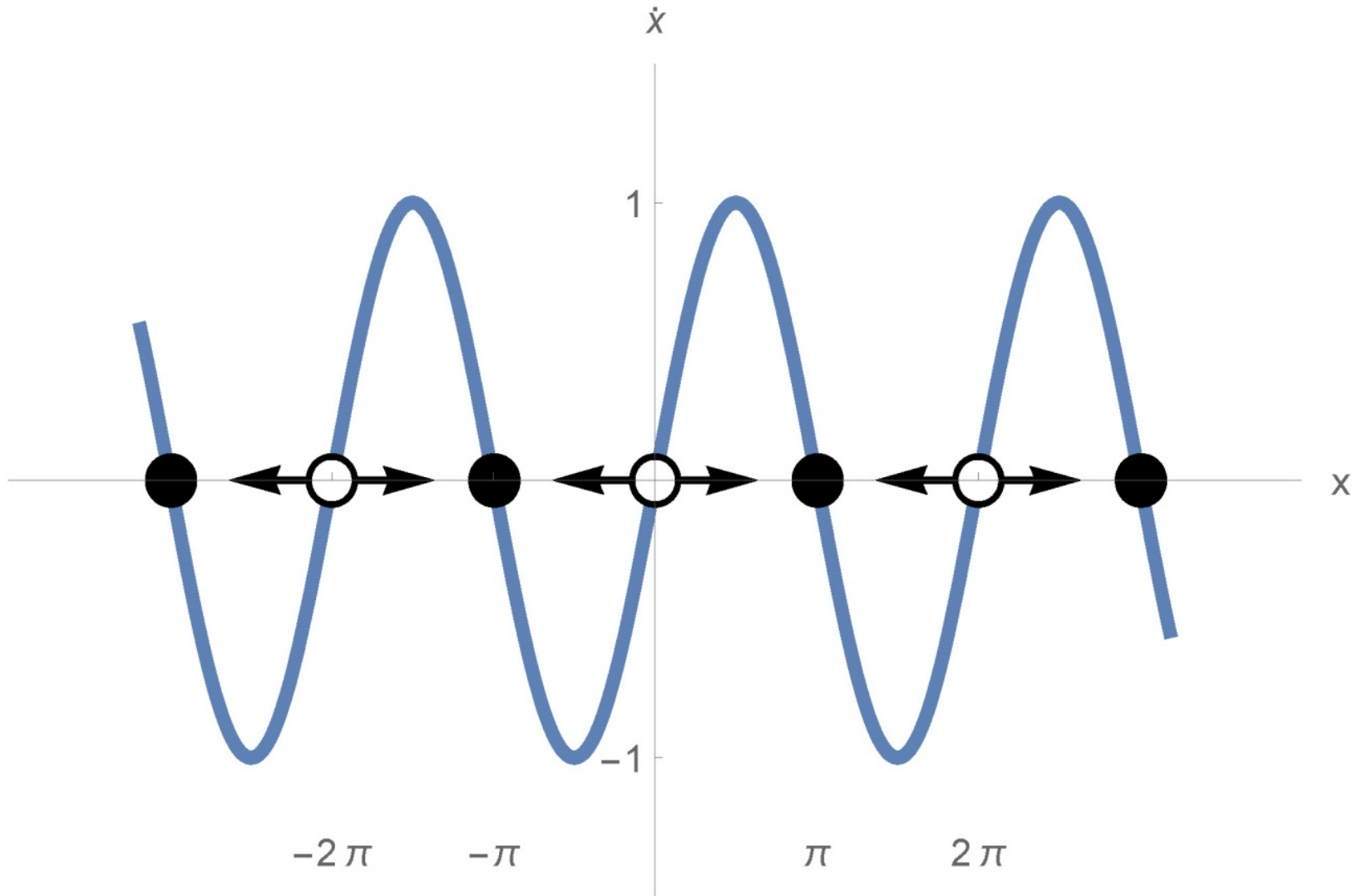
$$\frac{dx}{dt} = \sin x \quad \Rightarrow \quad t = \ln \left| \frac{\csc x_0 + \cot x_0}{\csc x + \cot x_0} \right|$$

$x(t=0) = x_0$

1D-Probleme

- Stattdessen: Graphische Analyse
→ $f(x)$ als **Vektorfeld** auf x-Achse
- Graphische Darstellung:
 - i. $\dot{x} > 0 \iff$ Pfeil nach rechts
 - ii. $\dot{x} < 0 \iff$ Pfeil nach links
- Fixpunkt bei $\dot{x} = 0 = f(x^*)$

1D-Probleme



1D-Probleme

- Graphisches Stabilitätskriterium:
 - i. Stabil \Leftrightarrow Pfeile zeigen nach innen ●
 - ii. Instabil \Leftrightarrow Pfeile zeigen nach außen ○
- Quantitative Analyse auch möglich?
→ Lineare Stabilitätsanalyse

1D-Probleme

- Ansatz: $\eta(t) = x(t) - x^*$
- Taylor $\longrightarrow \dot{\eta} \cong f(x^*) + \eta f'(x^*) + \mathcal{O}(\eta^2)$
- $f'(x^*) \neq 0 \longrightarrow \dot{\eta} \cong \eta f'(x^*)$
- Lösung: $\eta(t) = \eta_0 e^{f'(x^*) \cdot t}$

1D-Probleme

- Lineares Stabilitätskriterium:

- i. Stabil $\Leftrightarrow f'(x^*) < 0$

- ii. Instabil $\Leftrightarrow f'(x^*) > 0$

1D-Probleme

- Zurück zum Beispiel $\dot{x} = \sin x$
- Fixpunkt, wenn $f(x) = \sin x = 0$

$$\longrightarrow x^* = k\pi$$

$$f'(x^*) = \cos k\pi = \begin{cases} 1, & k \text{ gerade} \\ -1, & k \text{ ungerade} \end{cases}$$

1D-Probleme

- Zurück zum Beispiel $\dot{x} = \sin x$
- Fixpunkt, wenn $f(x) = \sin x = 0$

$$\longrightarrow x^* = k\pi$$

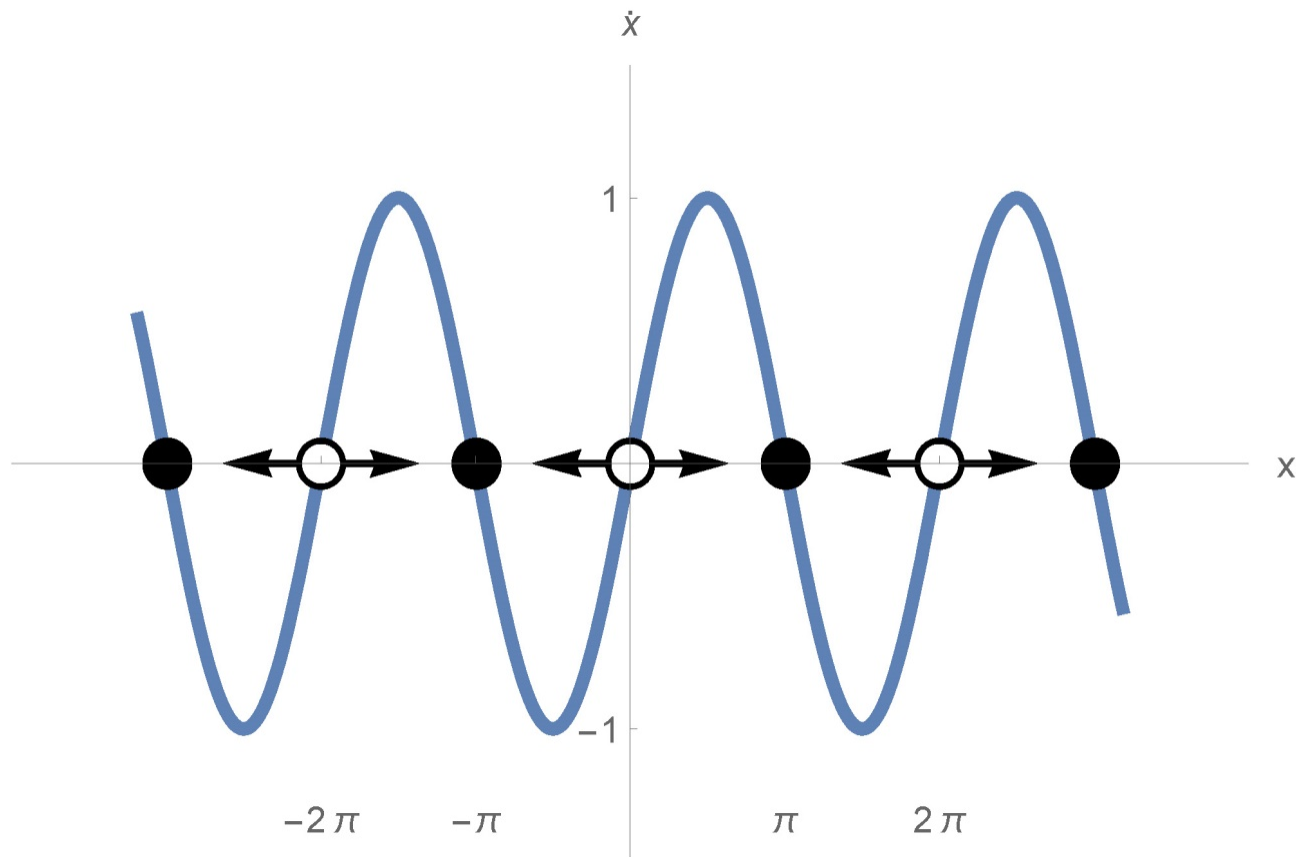
$$f'(x^*) = \cos k\pi = \begin{cases} -1, & k \text{ gerade} \\ -1, & k \text{ ungerade} \end{cases}$$

instabil

stabil

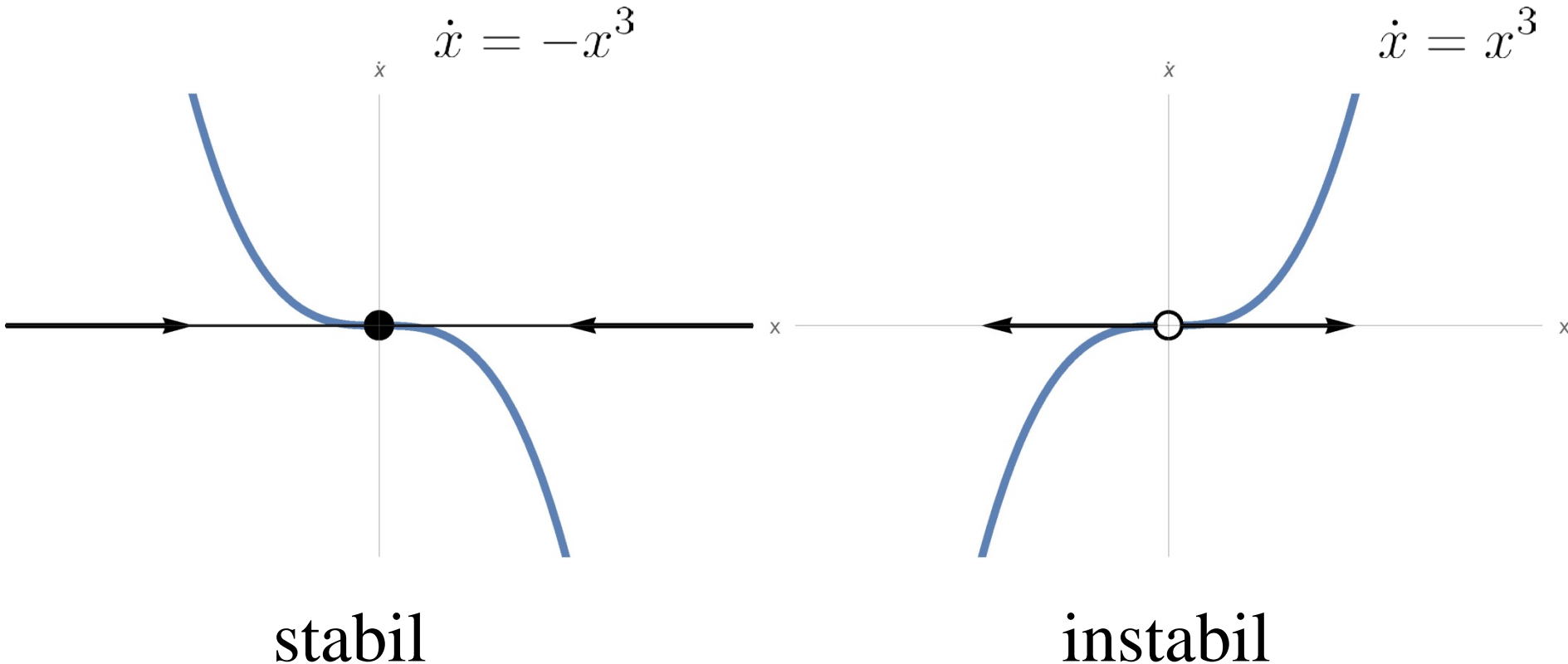
1D-Probleme

- Erinnerung:

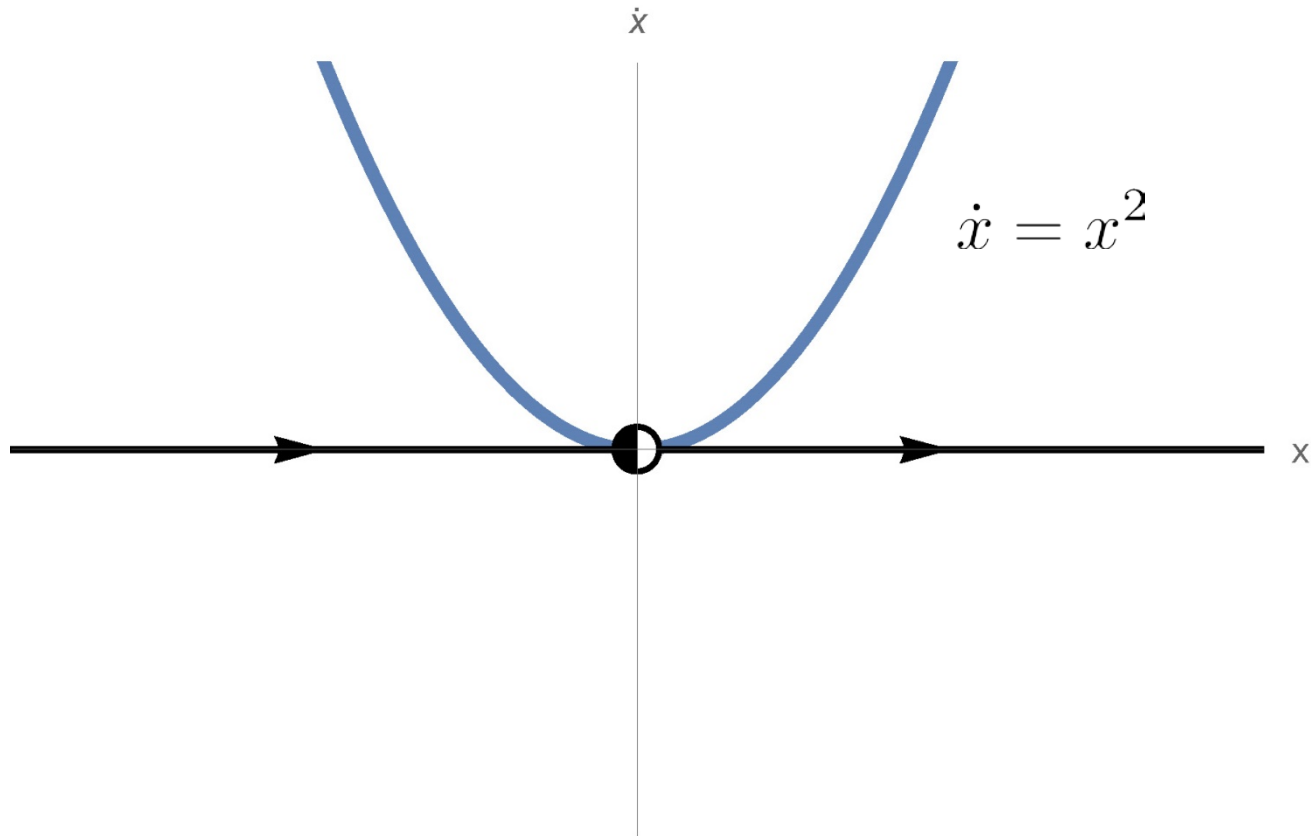


1D-Probleme

- Bemerkung: Was passiert bei $f'(x^*) = 0$?



1D-Probleme



- Hier ist $x^* = 0$ **halbstabiler** Fixpunkt

Bifurkationen

- Übersicht:
 - Sattel-Knoten-Bifurkationen
 - Transkritische Bifurkationen
 - Pitchfork-Bifurkationen
 - Superkritische Bifurkationen
 - Subkritische Bifurkationen
 - Nicht perfekte Bifurkationen
 - Beispiele

Was sind Bifurkationen

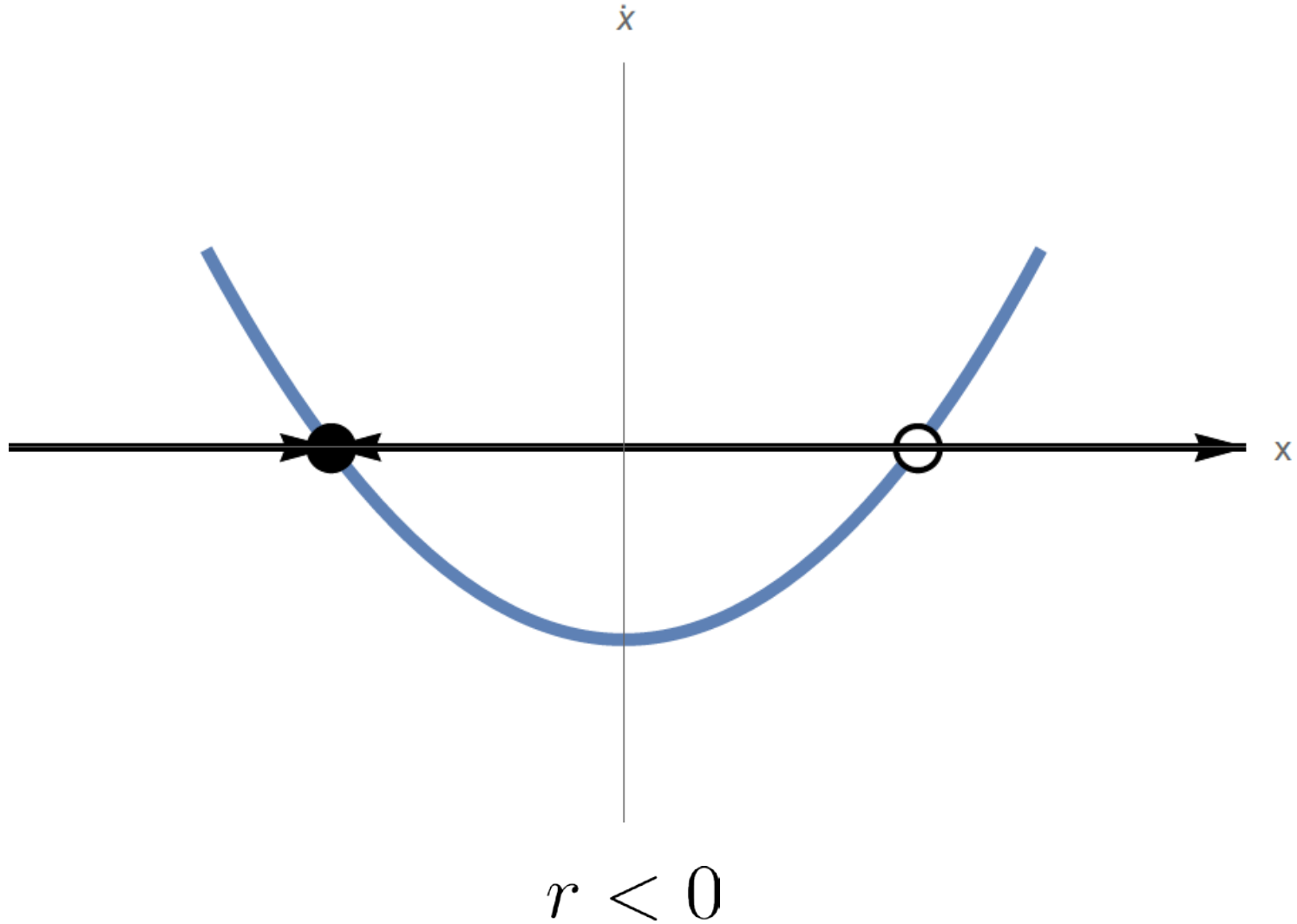
- Bis jetzt: „simple“ 1D-Probleme
 - Dynamik der Vektorfelder sehr eingeschränkt
- Nun: Abhängigkeit von Parametern
 - Struktur des Verlaufs ändert sich
 - Fixpunkte werden „zerstört“ oder „erschaffen“
- Änderungen in der Dynamik heißen „Bifurkationen“
- Parameterwerte an denen sie auftreten
„Bifurkationspunkt“
- Bifurkationen liefern Modelle für Verstärkung und Instabilität

Sattel-Knoten-Bifurkation

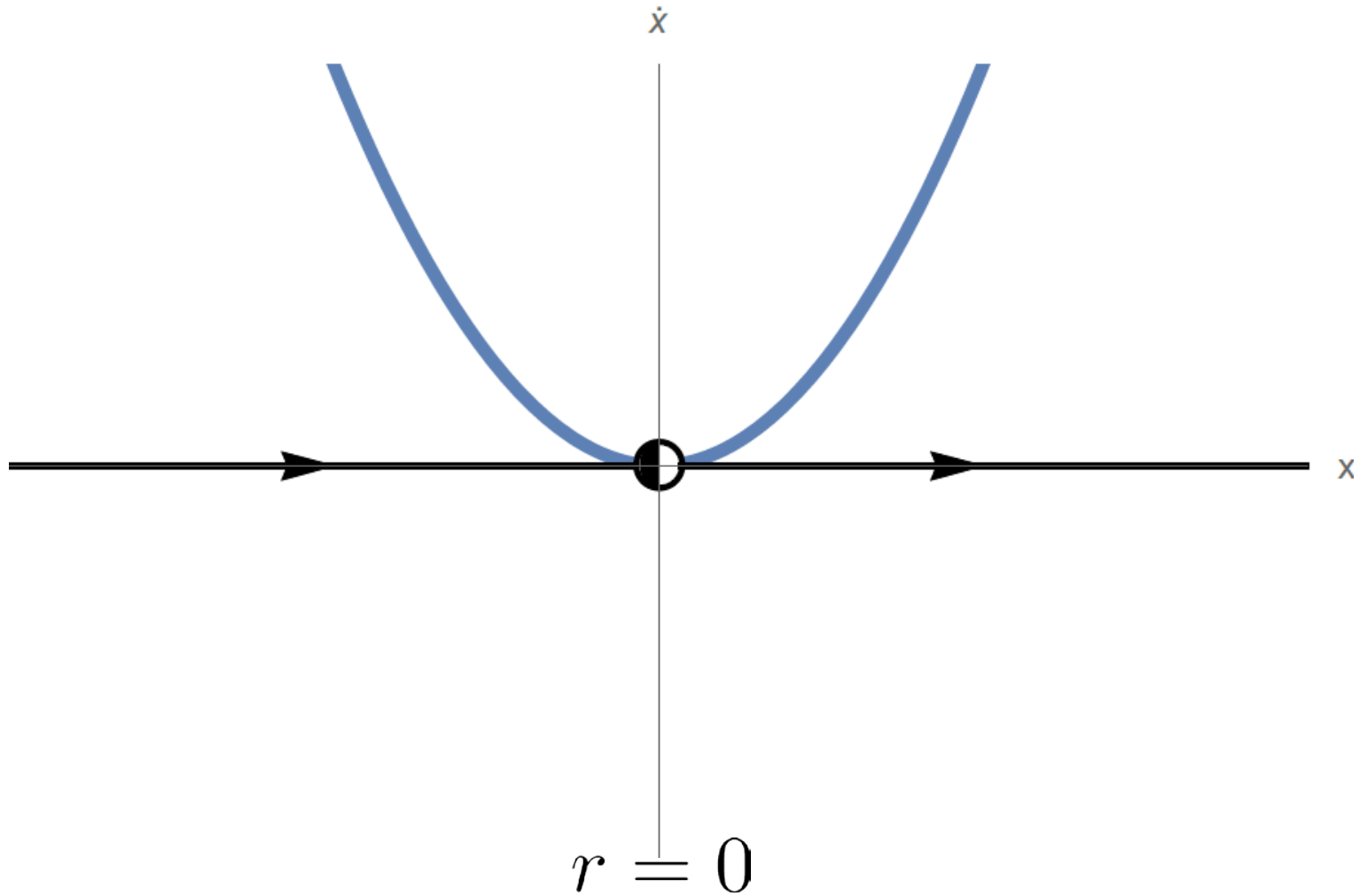
- Fixpunkte für $r \leq 0$ bei $x_{1,2}^* = \pm\sqrt{r}$
- Bei Variation des Parameters bewegen sich Fixpunkte aufeinander zu und annihilieren sich
- Normalform $\dot{x} = r + x^2$

- \exists unterschiedliche Fälle

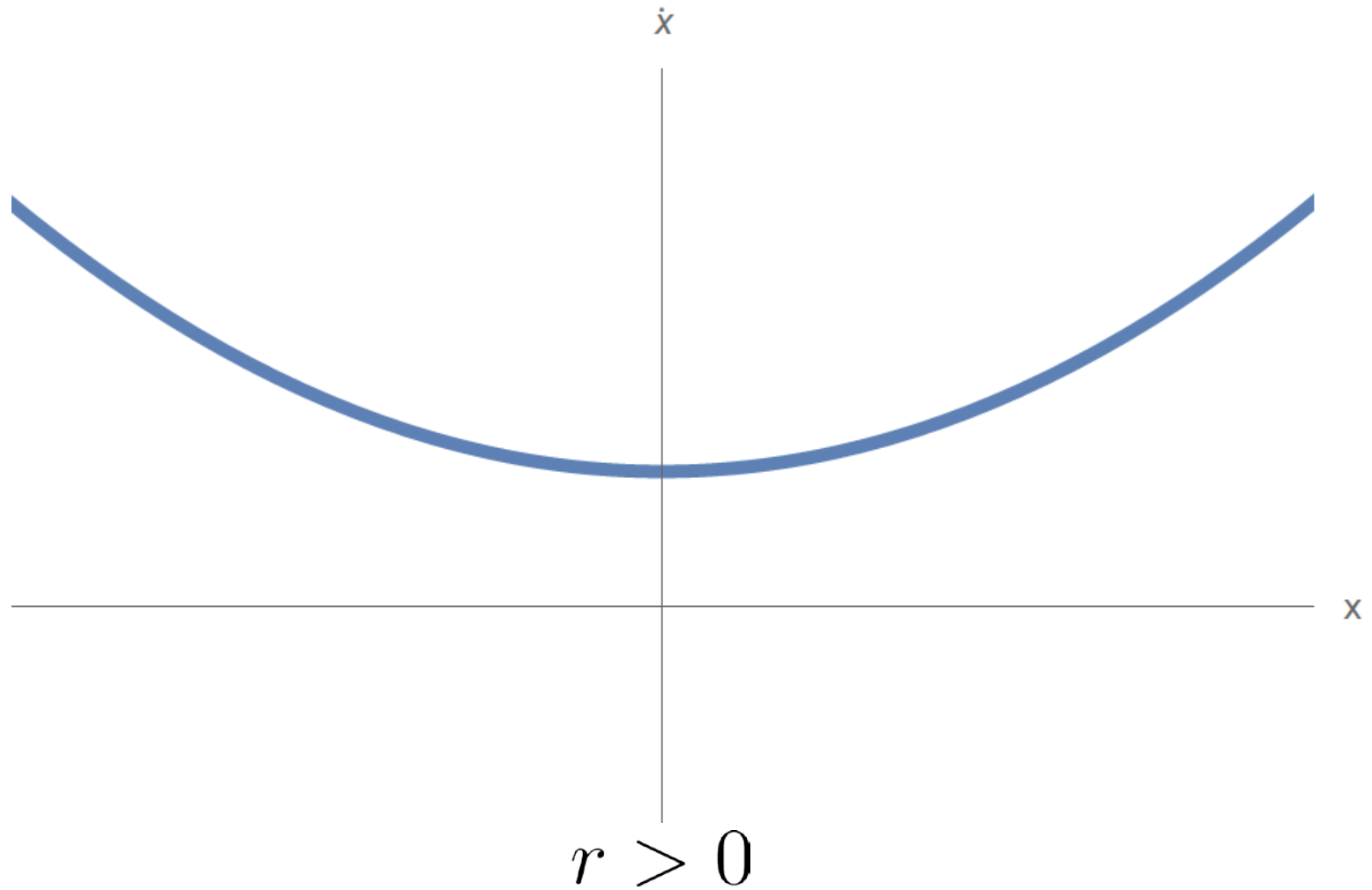
Fall 1:



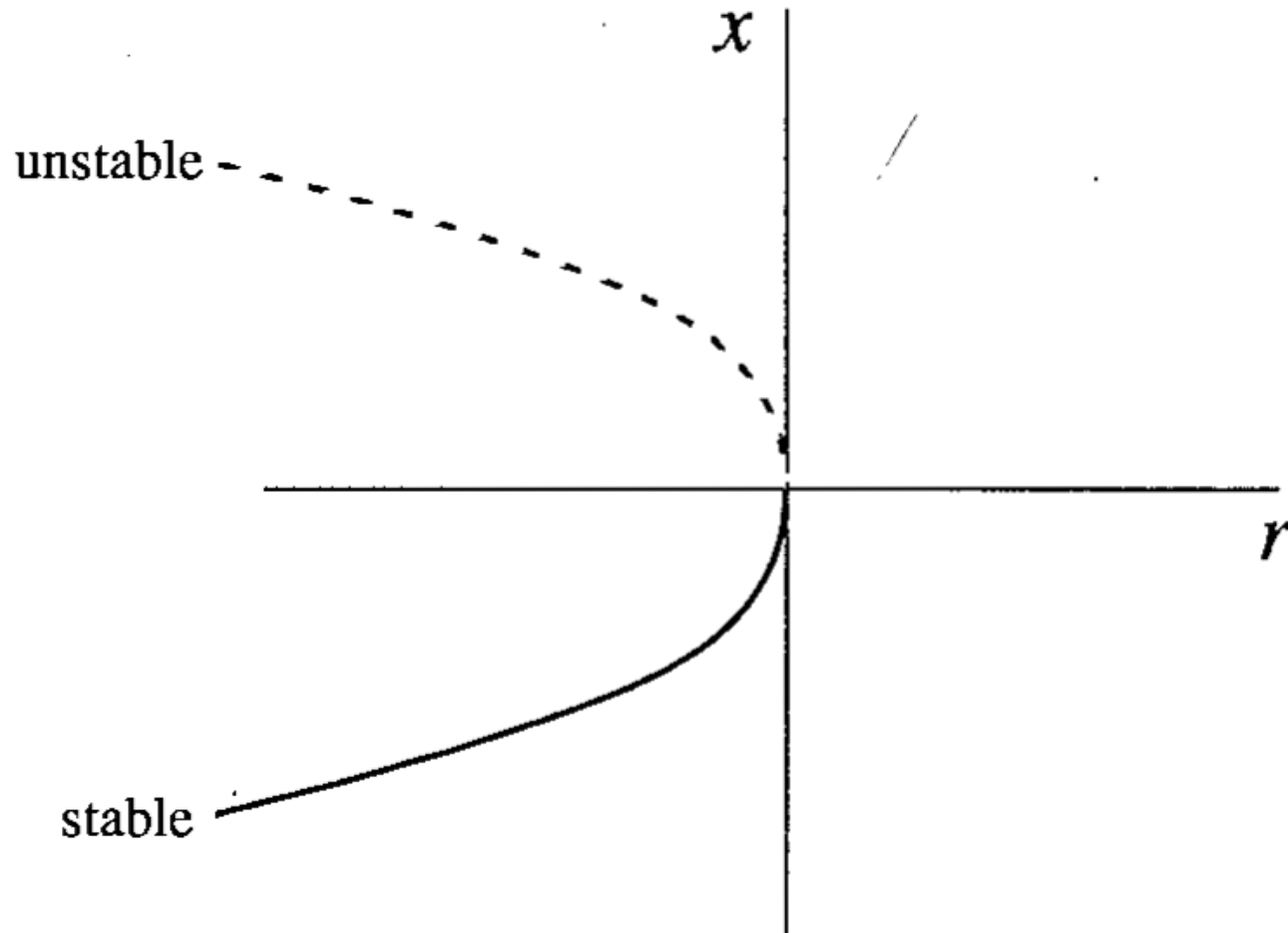
Fall 2:



Fall 3:



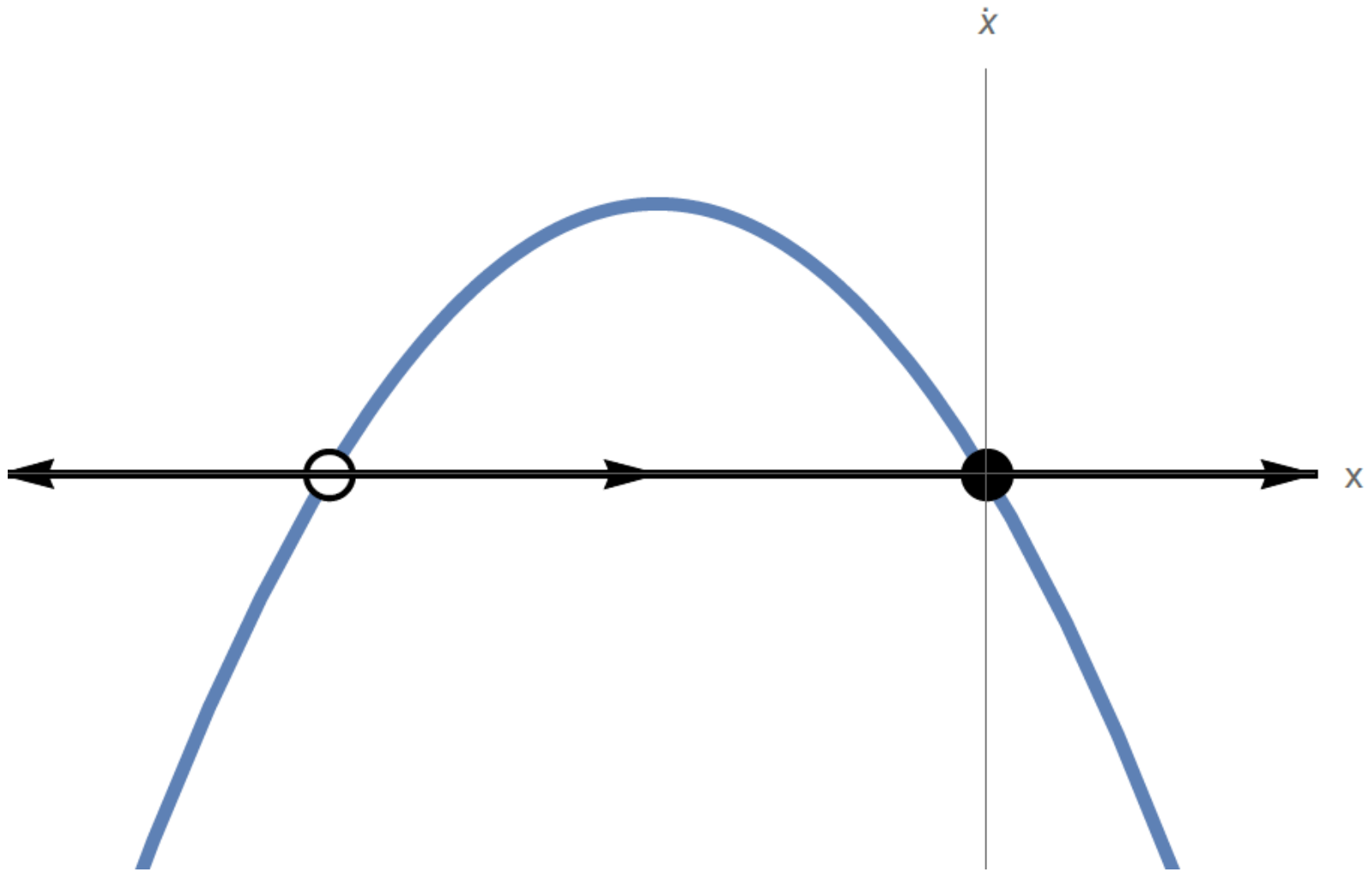
Bifurkationsdiagramm



Transkritische Bifurkationen

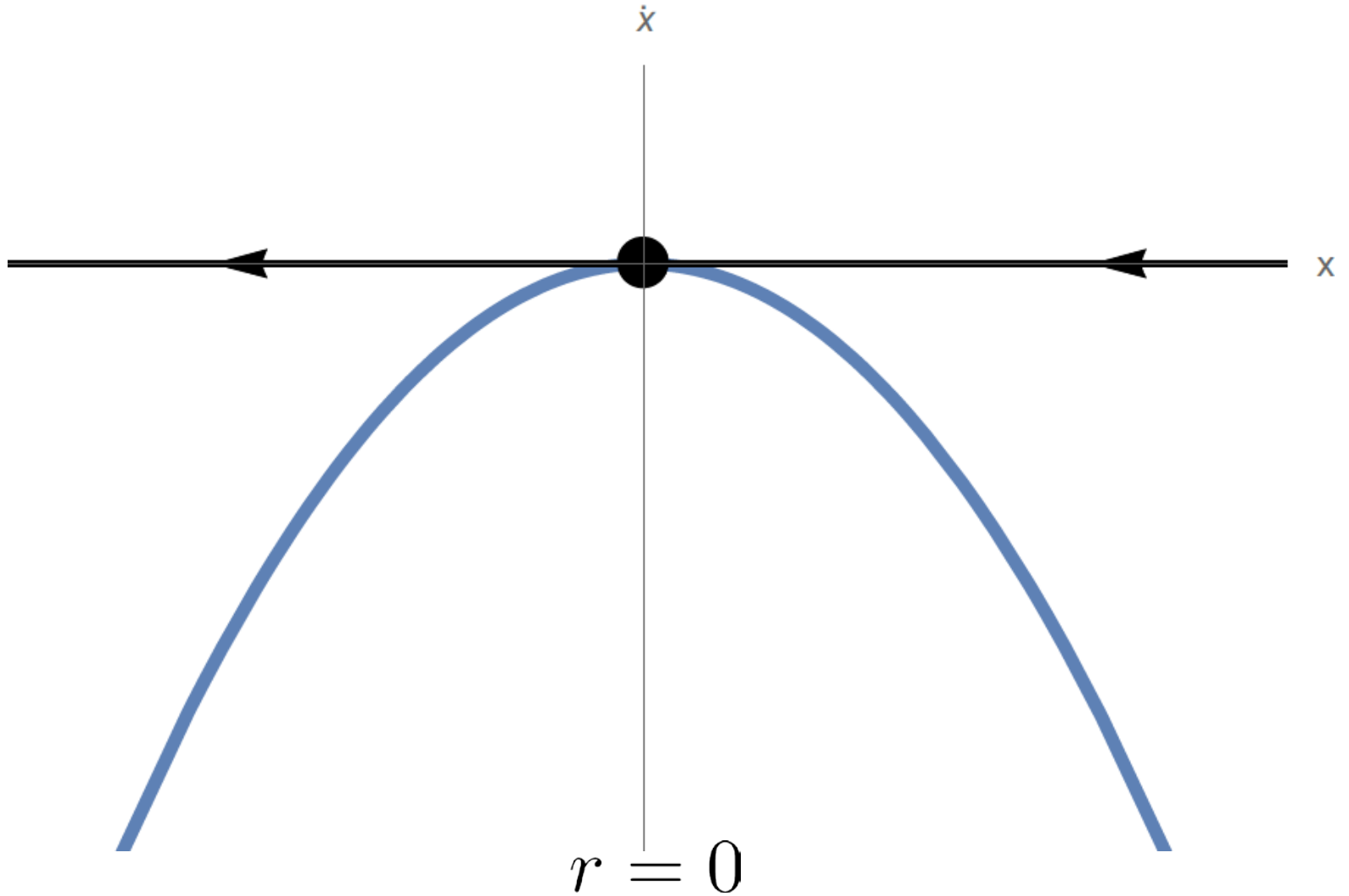
- Es gibt Modelle in denen ein Fixpunkt für alle Parameterwerte existieren „muss“
- Dieser Fixpunkt kann jedoch seine Stabilität ändern
- Für solche Modelle werden transkritische Bifurkationen verwendet
- Normalform $\dot{x} = rx - x^2$

Fall 1:

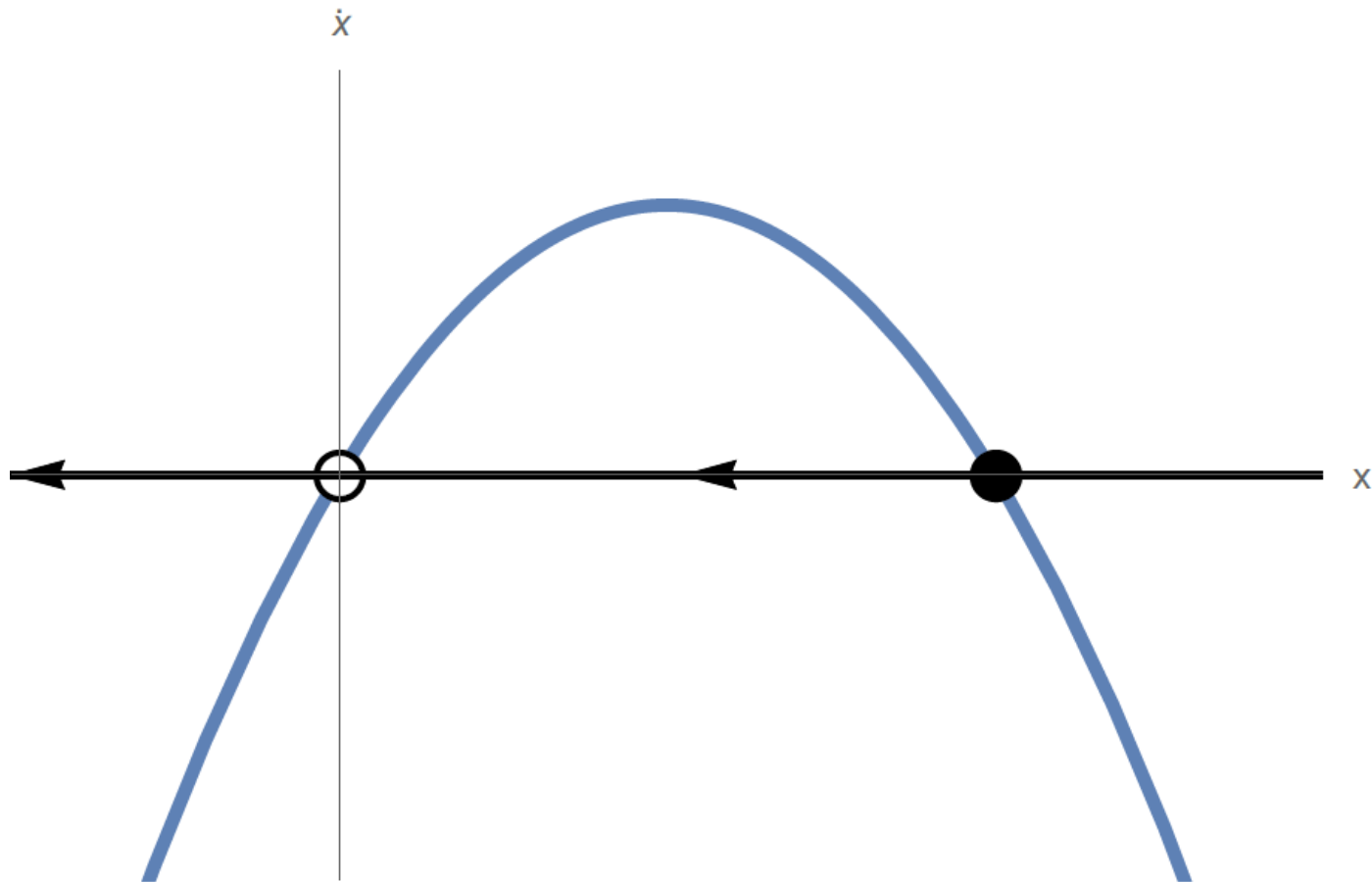


$$r < 0$$

Fall 2:

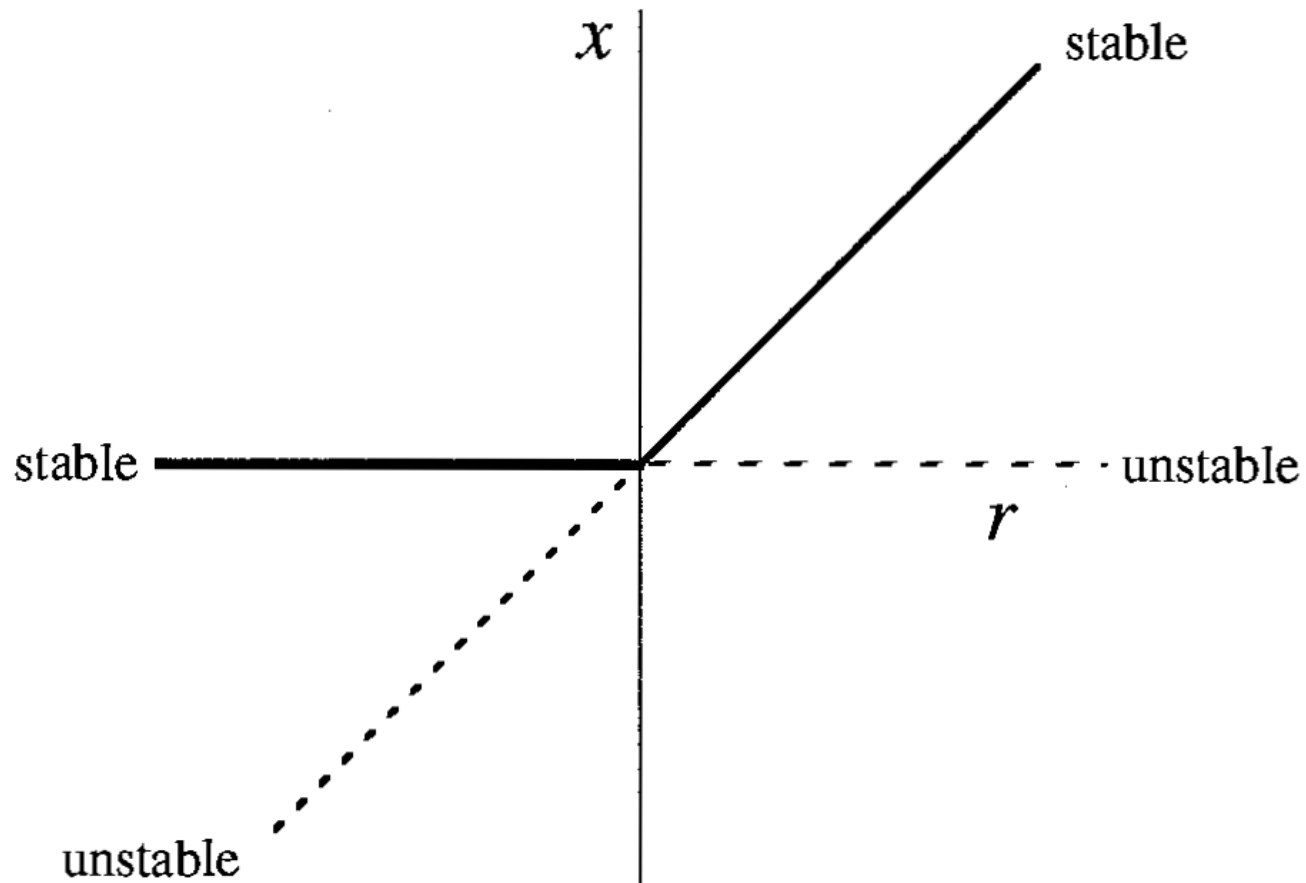


Fall 3:



$$r > 0$$

Bifurkationsdiagramm



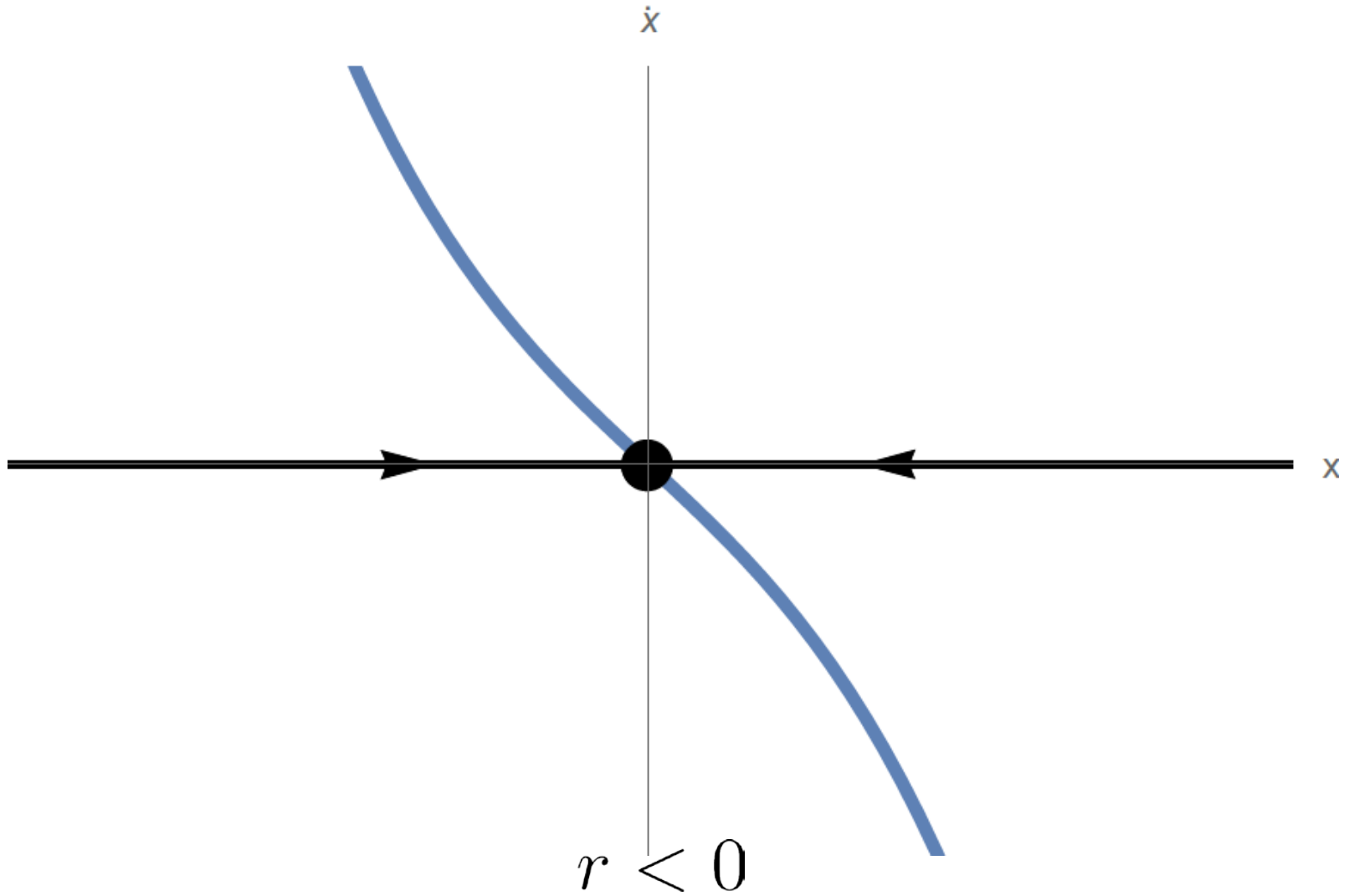
Pitchfork Bifurkation

- Modell für Systeme mit Symmetrie
- Es gibt 2 Arten dieser Bifurkation
 - Superkritische Pitchfork Bifurkation
 - Subkritische Pitchfork Bifurkation

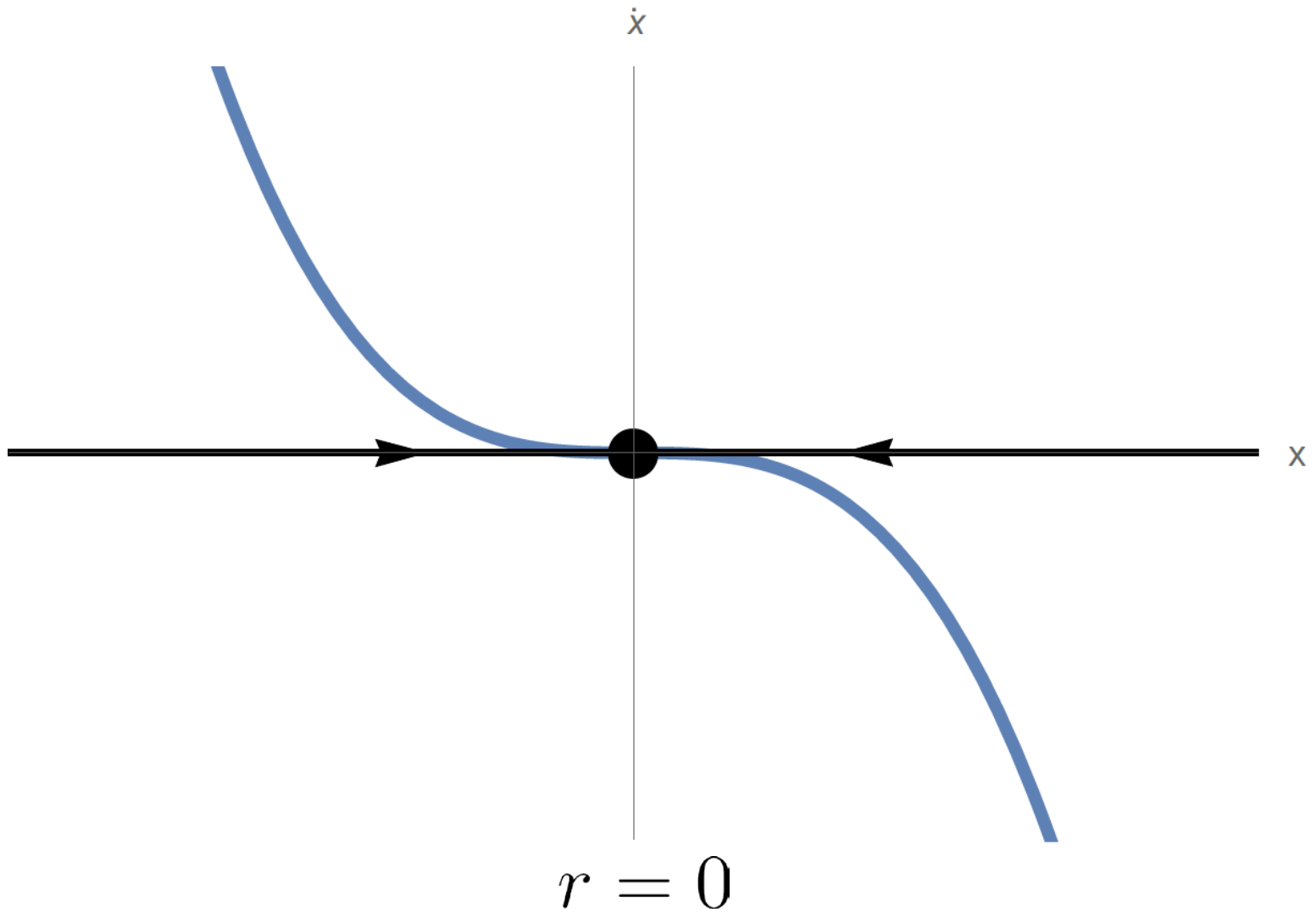
Superkritische Pitchfork Bifurkation

- Normalform $\dot{x} = rx - x^3$
→ invariant unter $x \rightarrow -x$
- Kubischer Term wirkt „stabilisierend“

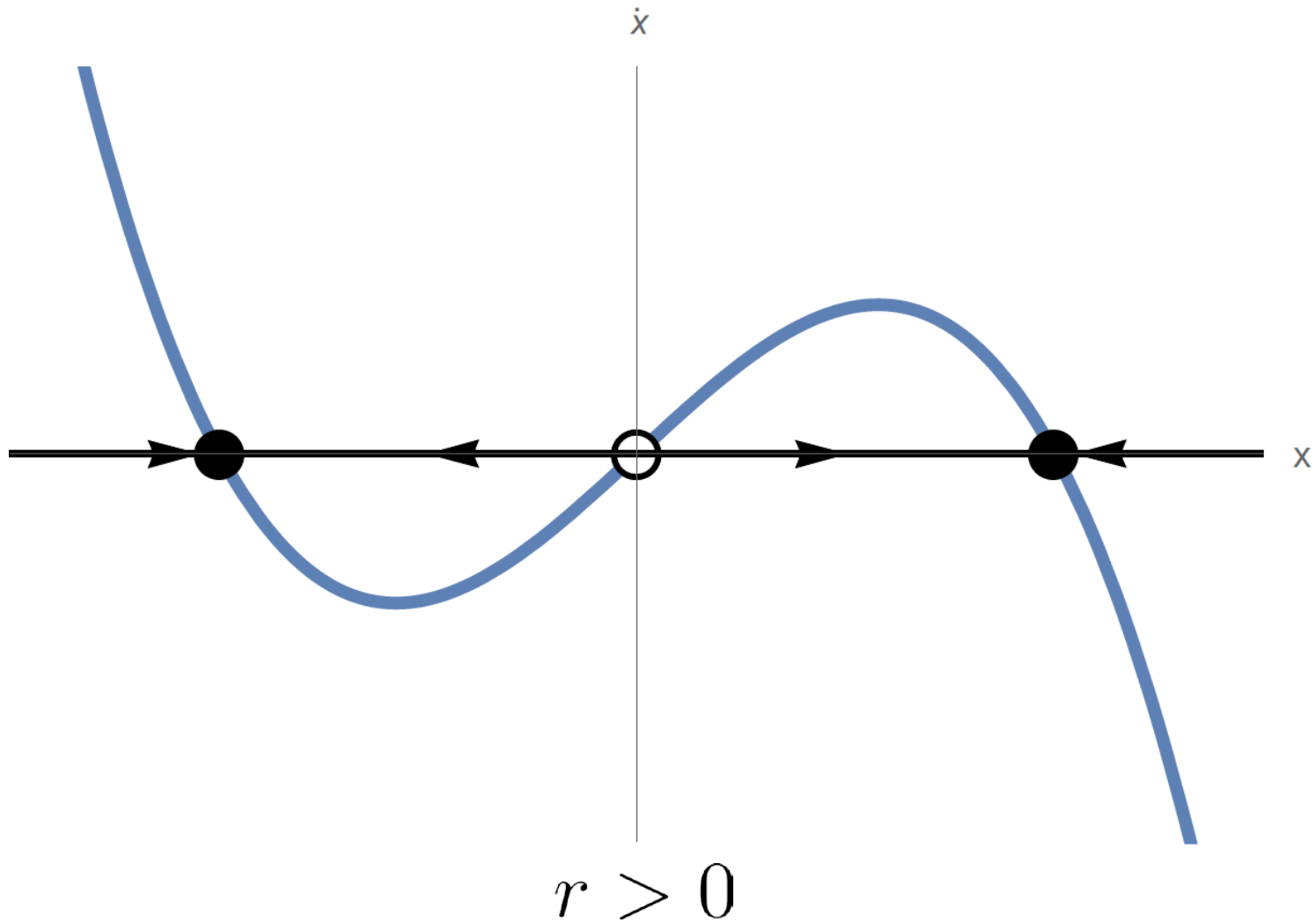
Fall 1:



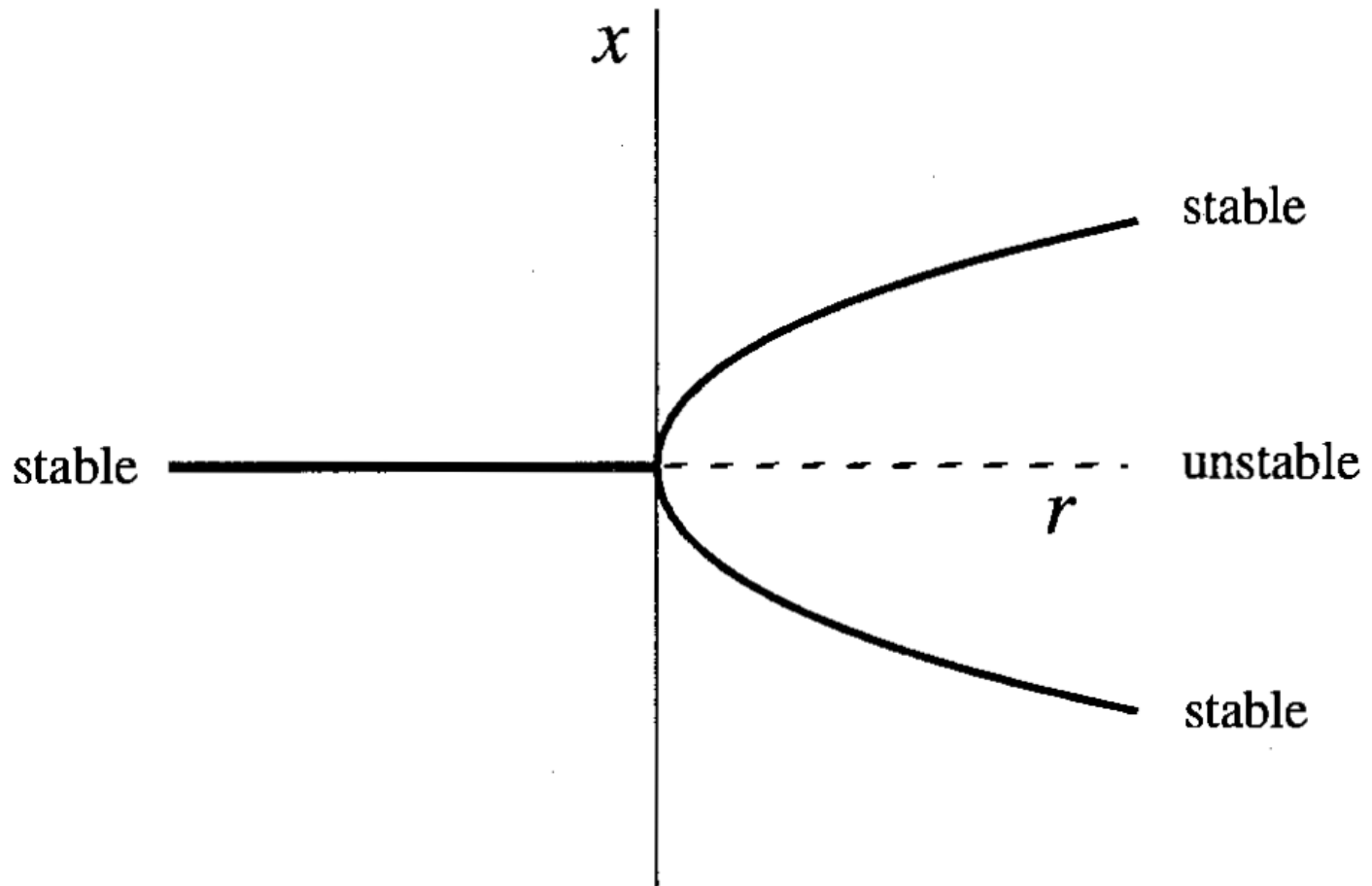
Fall 2:



Fall 3:



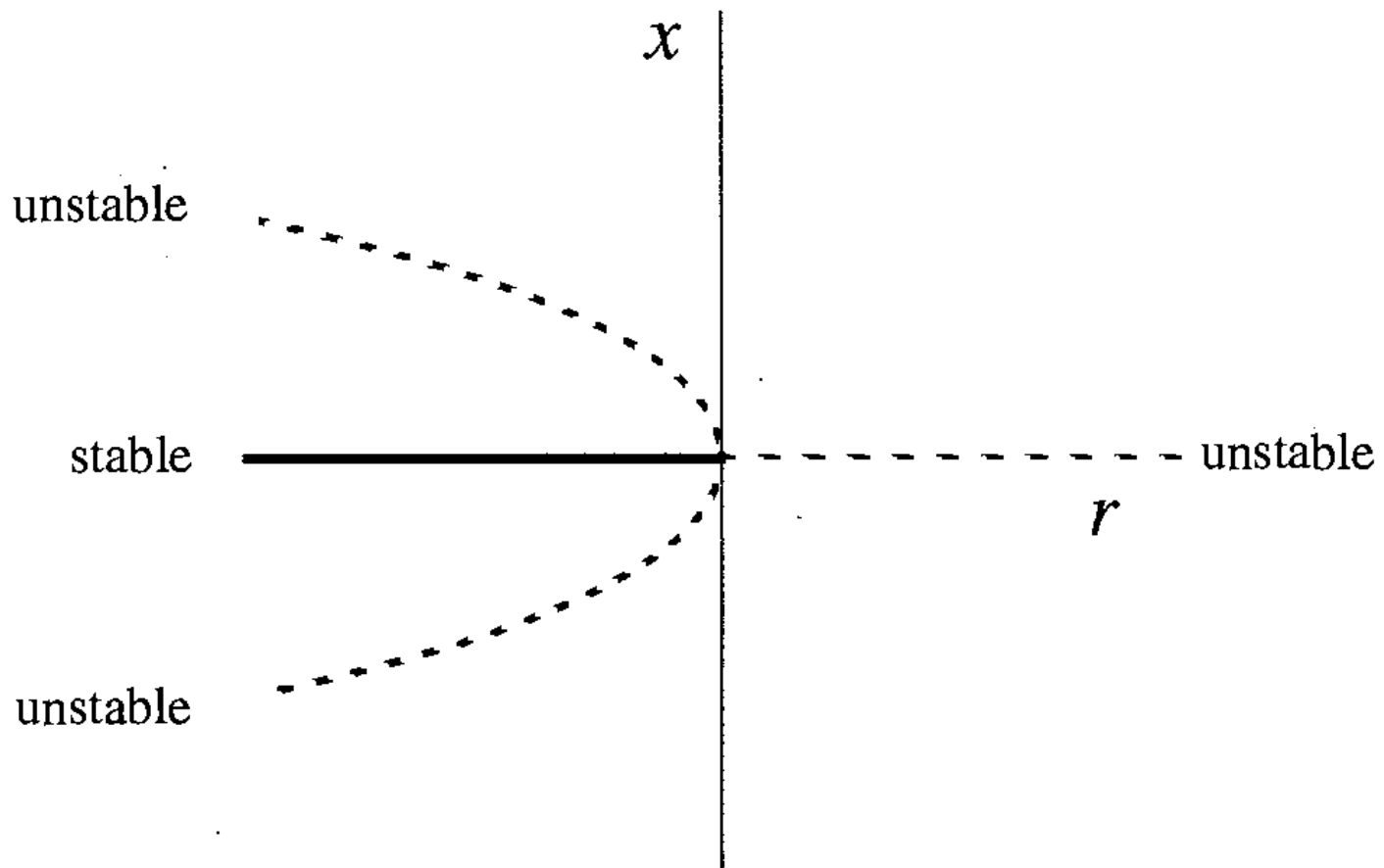
Bifurkationsdiagramm



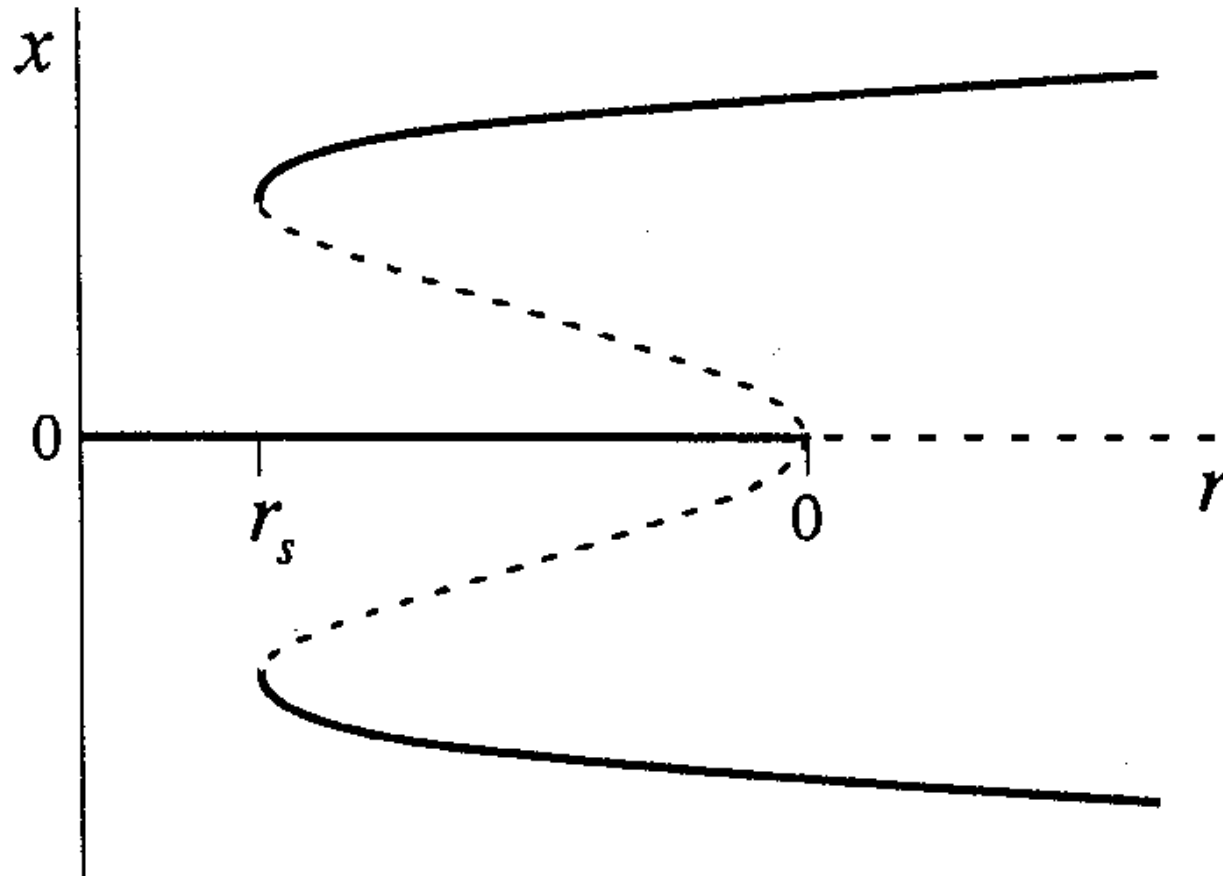
Subkritische Pitchfork Bifurkation

- Normalform $\dot{x} = rx + x^3$
- Kubischer Term ist hier nicht mehr stabilisierend
 - x^3 „treibt“ Funktion $\rightarrow \infty$
 - andere Normalform für „stabile Funktionen“
- System invariant für $x \rightarrow -x$
 - erster stabilisierender Term ist x^5
 - neue Normalform $\dot{x} = rx + x^3 - x^5$

Bifurkationsdiagramm für „instabile Bifurkation“



Bifurkationsdiagramm für „stabile Bifurkation“

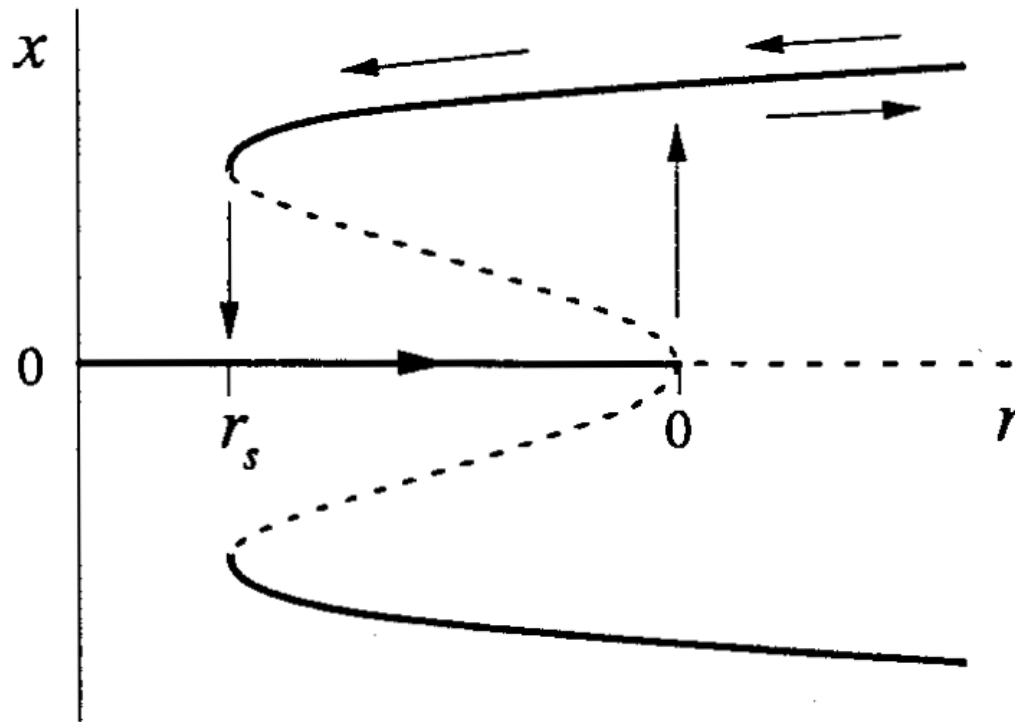


Wichtiges zur „stabilen Bifurkation“

- Für $r_s < r < 0$ koexistieren zwei stabile Zustände
 - Welcher Fixpunkt für $t \rightarrow \infty$ angenommen wird, ergibt sich aus der Anfangsbed. x_0
 - Daher ist der Fixpunkt im Ursprung gegen kleine Störungen stabil, nicht jedoch gegen große
→ der Ursprungsfixpunkt ist nur lokal stabil

Wichtiges zur „stabilen Bifurkation“

- Die Existenz von versch. stabilen Zuständen ermöglicht *Sprünge* und *Hysteresen*

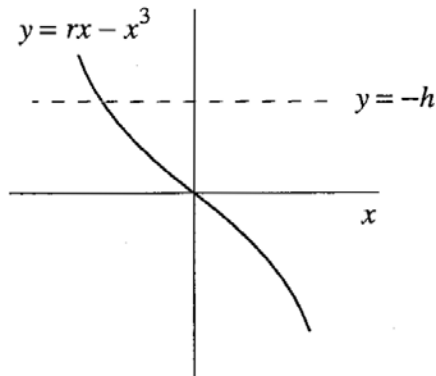


Nichtperfekte Bifurkationen

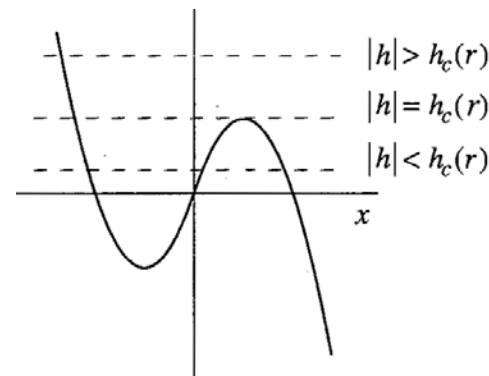
- Normalerweise Systeme nicht perfekt symmetrisch, sondern nur näherungsweise
- Diese Systeme haben Unvollkommenheiten
- Betrachte hierzu : $\dot{x} = h + rx - x^3$
 - Für $h = 0$ liegt normale Symmetrie vor
 - Für $h \neq 0$ liegt Symmetriebrechung vor
- Analyse hier deutlich schwieriger aufgrund zweier unabhängiger Parameter

Analyse der Fixpunkte

- graphischer Ansatz:
- Plotte $y = rx - x^3$; $y = h$ in ein Koordinatensyst.
→ Suche nach Schnittpunkten
- Schnittpunkte sind Fixpunkte



(a) $r \leq 0$



(b) $r > 0$

Analyse der Fixpunkte

- Kritischer Fall: Gerade ist Tangente an Extrempunkt

- Dann: Sattel-Knoten-Bifurkation

- Suche Werte für h an denen Bifurkation auftritt:

$$\frac{d}{dx}(rx - x^3) = r - 3x^2 = 0 \Rightarrow x_{max} = \sqrt{\frac{r}{3}}$$

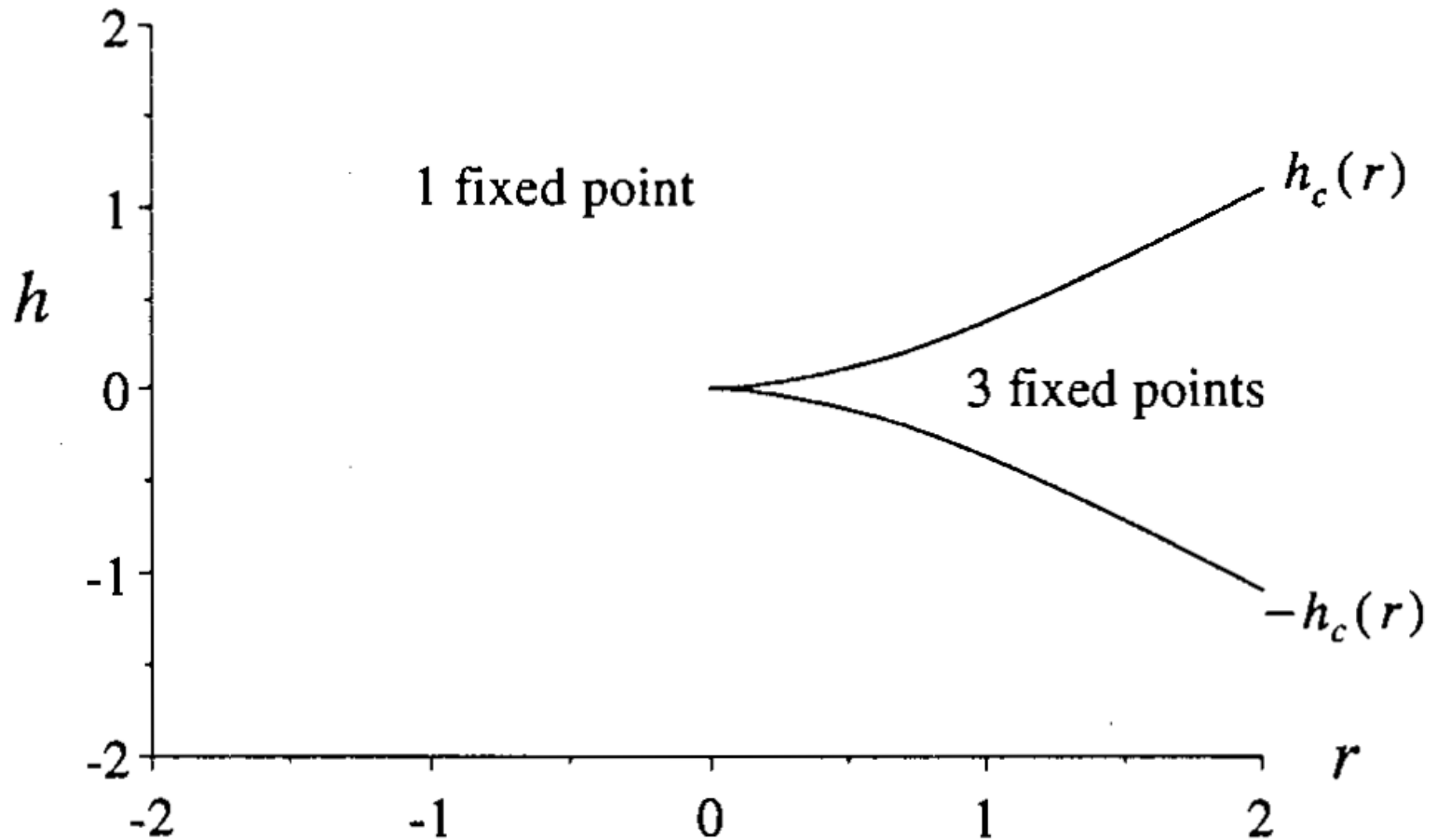
- Für den Wert am lokalen Maximum gilt:

$$rx_{max} - (x_{max})^3 = \frac{2r}{3} \sqrt{\frac{r}{3}}$$

- Sattel-Knoten-Bifurkation tritt auf , wenn

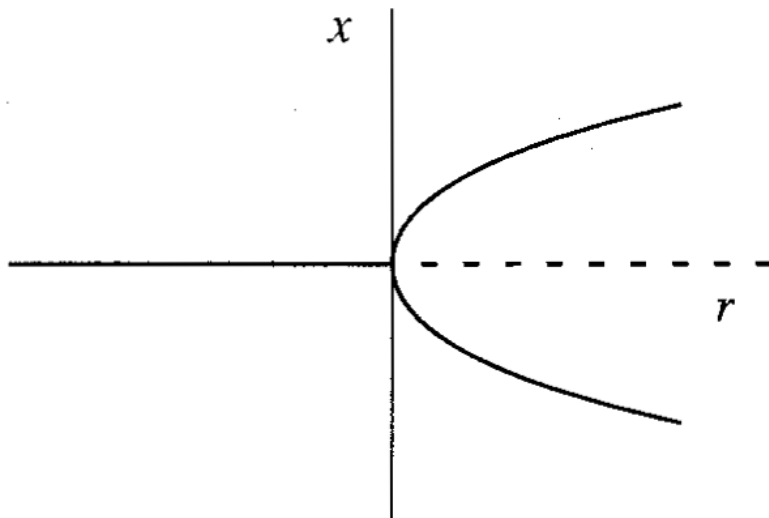
$$h = \pm h_c(r) ; \text{ mit } h_c(r) = \frac{2r}{3} \sqrt{\frac{r}{3}}$$

Analyse der Fixpunkte

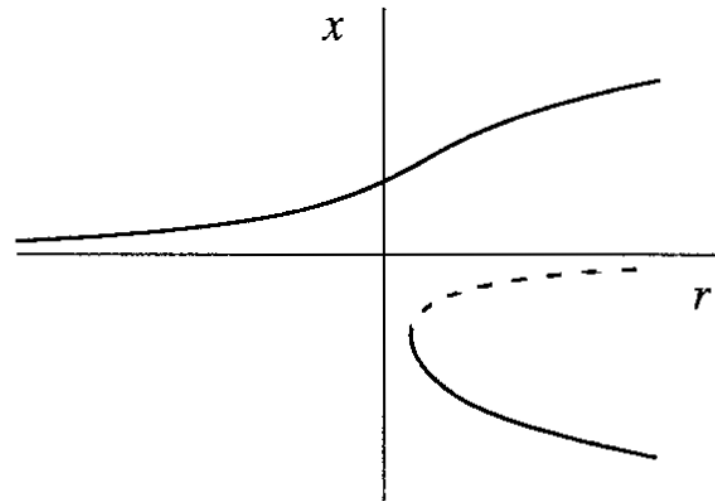


Analyse der Fixpunkte

- Bifurkationsdiagramme von x^* für festes h



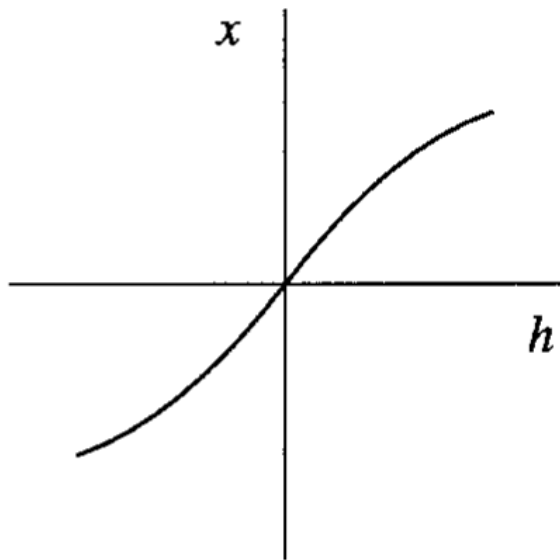
(a) $h = 0$



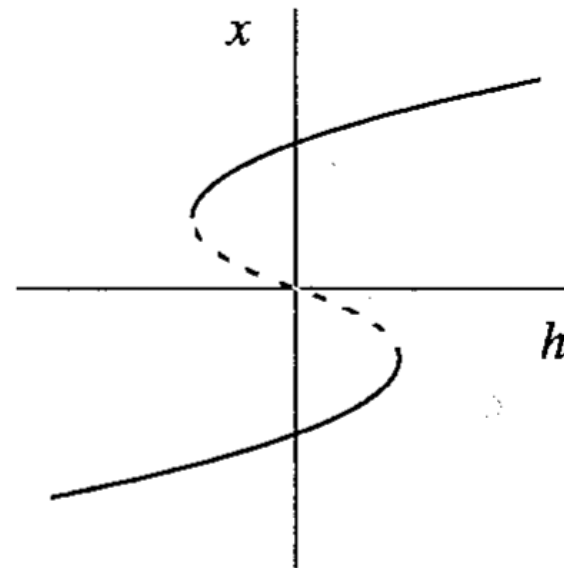
(b) $h \neq 0$

Analyse der Fixpunkte

- Bifurkationsdiagramme von x^* für festes r

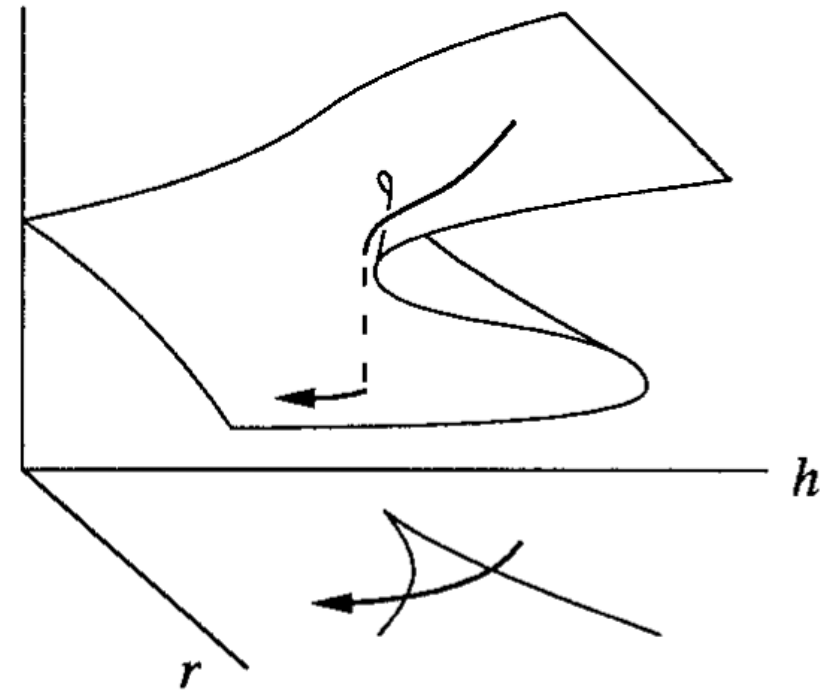
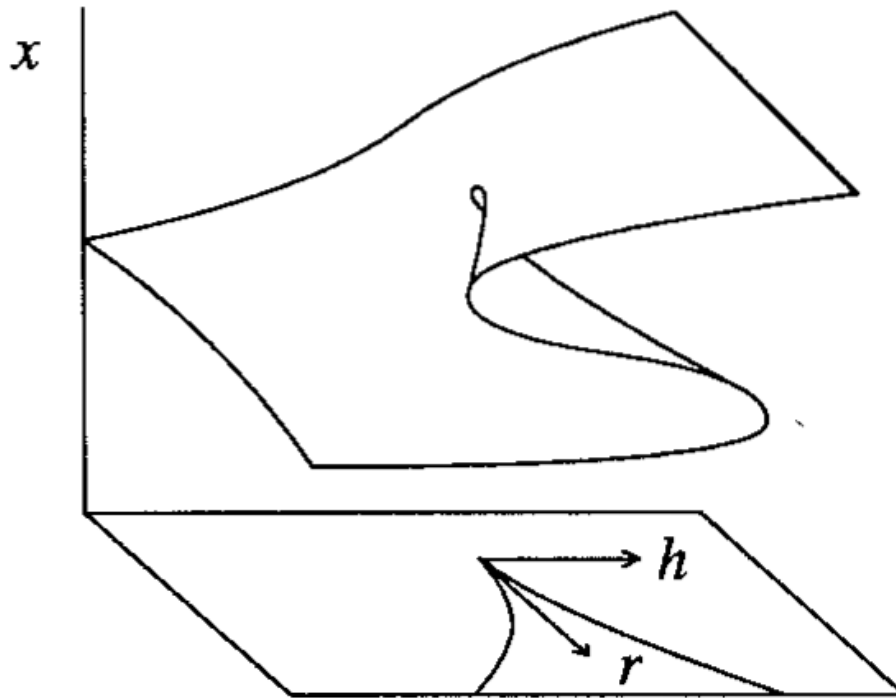


(a) $r \leq 0$



(b) $r > 0$

Kurze Anmerkung zu Katastrophen



Spitzenkatastrophe

Beispiel : Populationsentwicklung

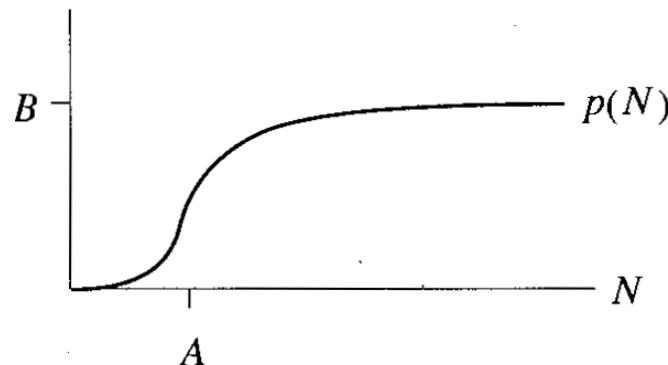
- Hier: Falterart aus Kanada
- Modell bedient sich der „Trennung von Zeiträumen“
 - Population wächst schnell (char. Zeitraum: Monate)
 - Bäume wachsen langsam (char. Zeitraum Jahre)
- Bei Betrachtung der Populationsentwicklung können also die „Waldvariablen“ konstant angenommen werden

Populationsentwicklung

Für die Population gilt: $\dot{N} = RN(1 - \frac{N}{K}) - p(N)$

$N(t)$ wächst logistisch mit Wachstumsrate R und Tragfähigkeit K (hierbei K fest)

$p(N)$ (Todesrate aufgr. von Raubtieren) wächst logistisch



Populationsentwicklung

Hier $p(N) = \frac{BN^2}{A^2+N^2}$ mit $A, B > 0$

$$\Rightarrow \dot{N} = RN\left(1 - \frac{N}{K}\right) - \frac{BN^2}{A^2+N^2} \quad (1)$$

Untersuche Modell nun auf einen sog. Ausbruch

Dimensionlose Formulierung

teile (1) durch B ; sei weiterhin $x = \frac{N}{A}$

$$\Rightarrow \frac{A}{B} \frac{dx}{dt} = \frac{R}{B} Ax \left(1 - \frac{Ax}{K}\right) - \frac{x^2}{1+x^2} \quad (2)$$

wir definieren die dimensionslose Zeit τ ,

sowie die dimensionslosen Parameter r, k wie folgt:

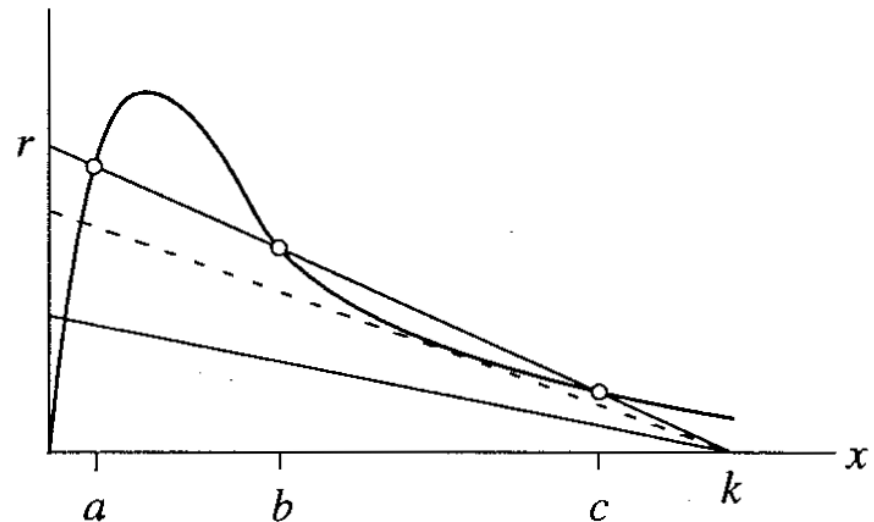
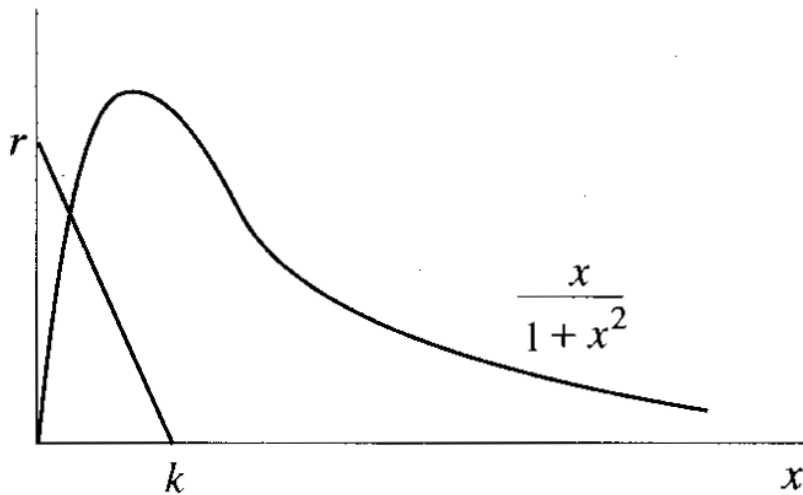
$$\tau = \frac{Bt}{A} ; r = \frac{RA}{B} ; k = \frac{K}{A}$$

$$(2) \Rightarrow \frac{dx}{dt} = rx \left(1 - \frac{x}{k}\right) - \frac{x^2}{1+x^2} \quad (3)$$

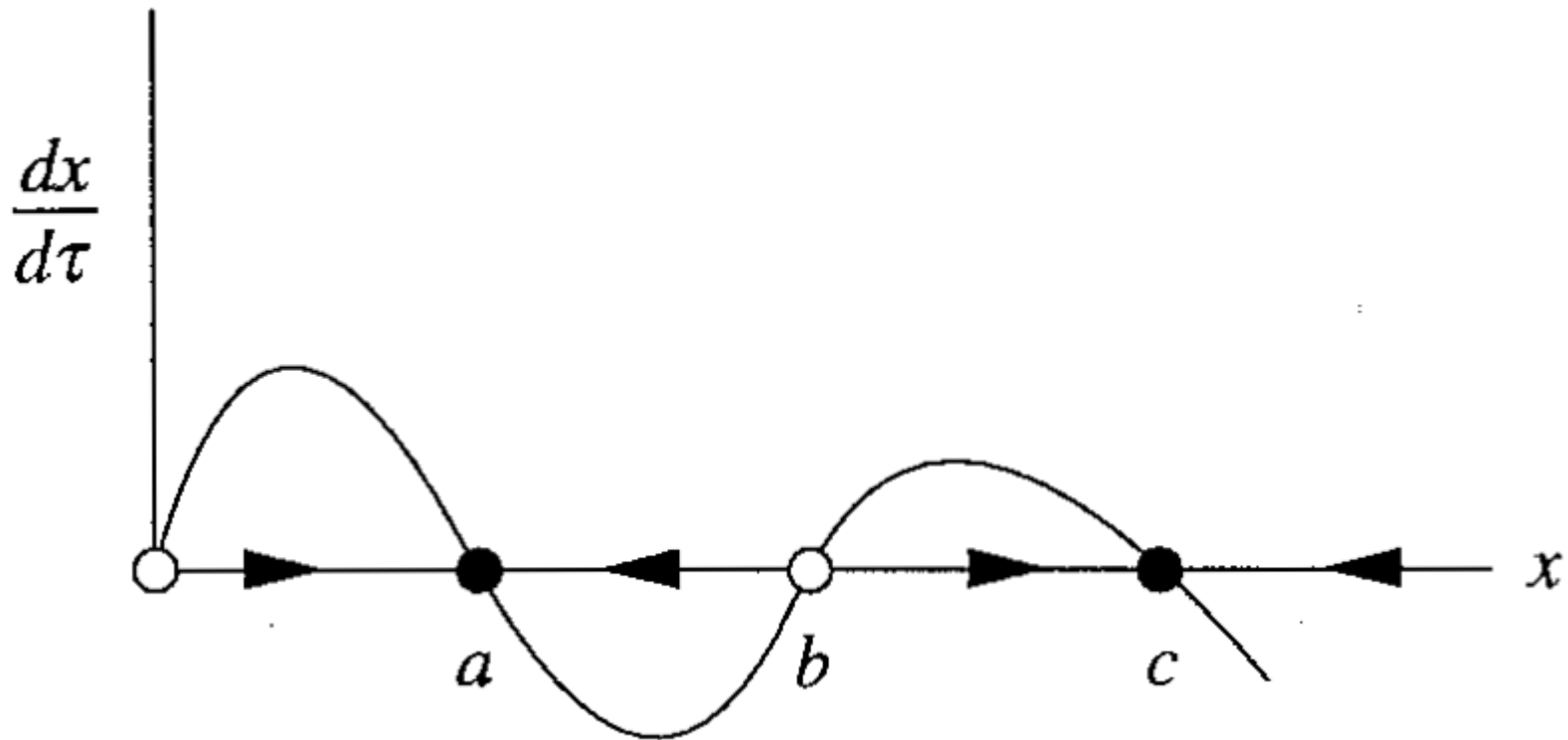
Analyse der Fixpunkte

- Erster Fixpunkt bei $x^* = 0$ (immer instabil)
- Weitere Fixpunkte durch Lösung von

$$r\left(1 - \frac{x}{k}\right) = \frac{x}{1+x^2}$$



Analyse der Fixpunkte



Bifurkationskurven errechnen

- Wir untersuchen Kurven im (k, r) -Raum für die eine Sattel-Knoten-B. vorliegt
- Wir können jedoch die Parameter nicht als Funktion voneinander ausdrücken
- Wähle Parametrisierung $(k(x), r(x))$ mit $x > 0$

Bifurkationskurven errechnen

- Für S-K-B müssen erfüllt sein:

$$(1) \quad r\left(1 - \frac{x}{k}\right) = \frac{x}{1+x^2}$$

$$(2) \quad \frac{d}{dx}\left[r\left(1 - \frac{x}{k}\right)\right] = \frac{d}{dx}\left[\frac{x}{1+x^2}\right] \Leftrightarrow -\frac{r}{k} = \frac{1-x^2}{(1+x^2)^2} \quad (3)$$

- Einsetzen von (3) in (1) liefert:

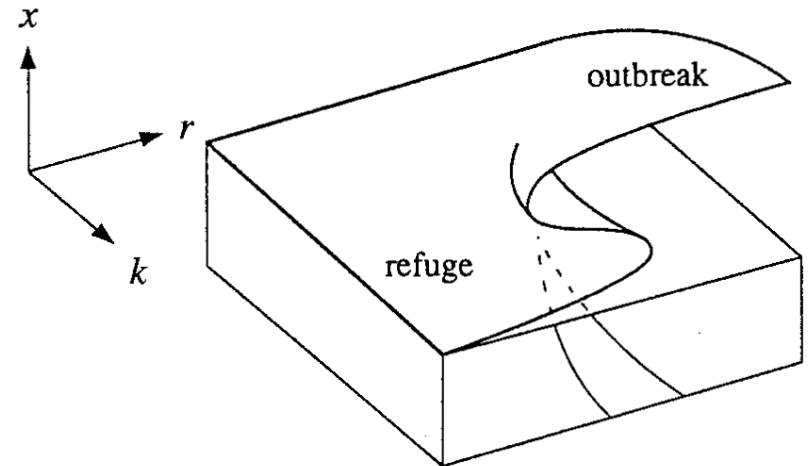
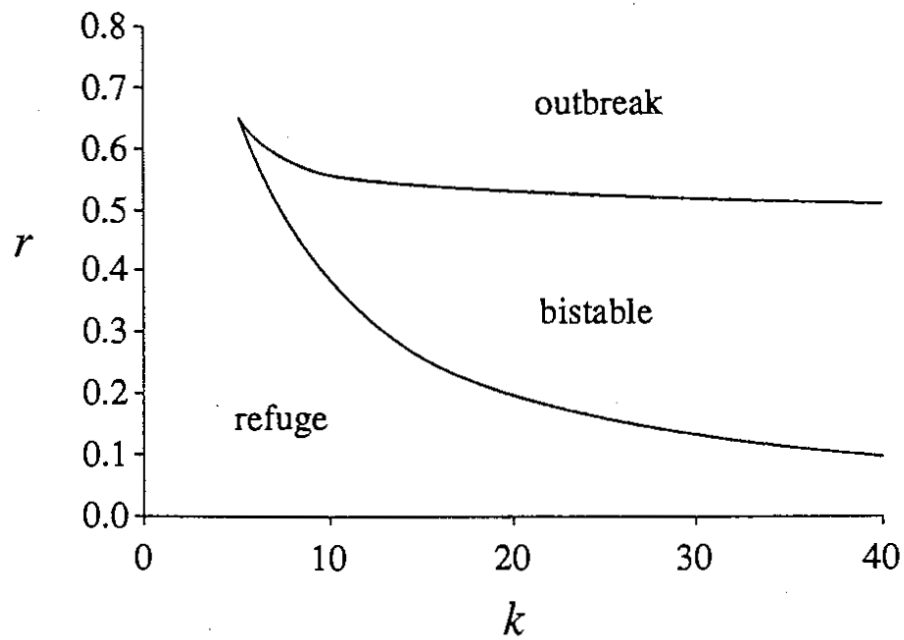
$$(4) \quad r = \frac{2x^3}{(1+x^2)^2}$$

- Einsetzen von (4) in (3) liefert:

$$(5) \quad k = \frac{2x^3}{x^2-1}$$

- Bifurkationskurven sind (5) und (4)

Bifurkationskurven



2D-Probleme

- Betrachte nun nichtlineare Probleme vom Typ

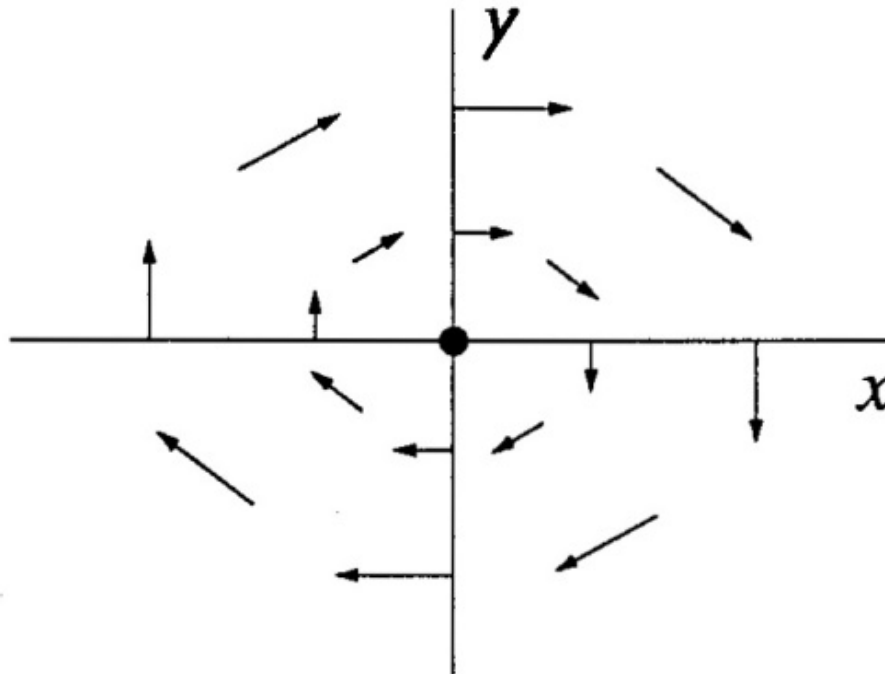
$$\begin{cases} \dot{x} = f(x, y) \\ \dot{y} = g(x, y) \end{cases}$$

- Fixpunkte dann gegeben durch

$$\begin{cases} f(x, y) = 0 \\ g(x, y) = 0 \end{cases}$$

2D-Probleme

- (x, y) baut Phasenebene auf
- (\dot{x}, \dot{y}) ist dann Vektorfeld auf der Phasenebene



2D-Probleme

- Erst lineare Systeme untersuchen!

$$\begin{cases} \dot{x} = ax + by \\ \dot{y} = cx + dy \end{cases} \iff \frac{d}{dt} \begin{pmatrix} x \\ y \end{pmatrix} = \begin{pmatrix} a & b \\ c & d \end{pmatrix} \begin{pmatrix} x \\ y \end{pmatrix}$$

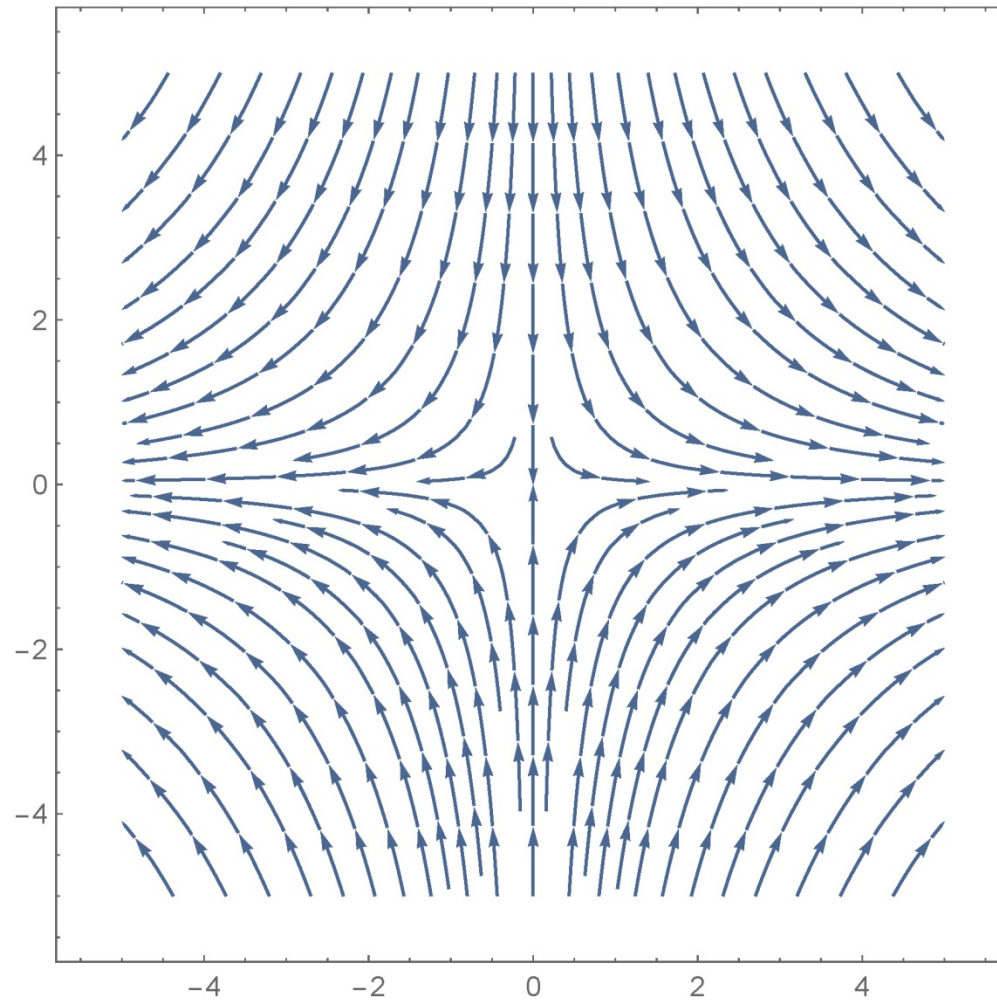
- Allgemeine Lösung: $\vec{X}(t) = c_1 e^{\lambda_1 t} \vec{v}_1 + c_2 e^{\lambda_2 t} \vec{v}_2$

- Schreibe $\lambda_{1,2} = \frac{1}{2} \left(\tau \pm \sqrt{\tau^2 - 4\Delta} \right)$

- Mit $\Delta = \lambda_1 \lambda_2$ und $\tau = \lambda_1 + \lambda_2$

$$\Delta < 0$$

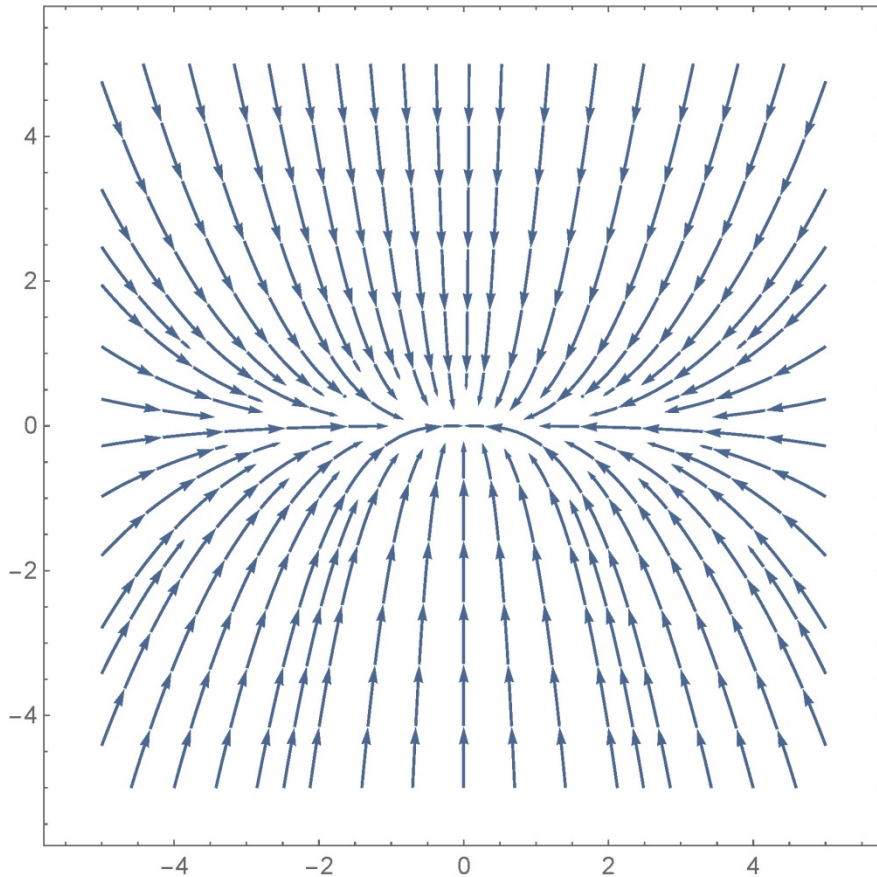
Sattelpunkt



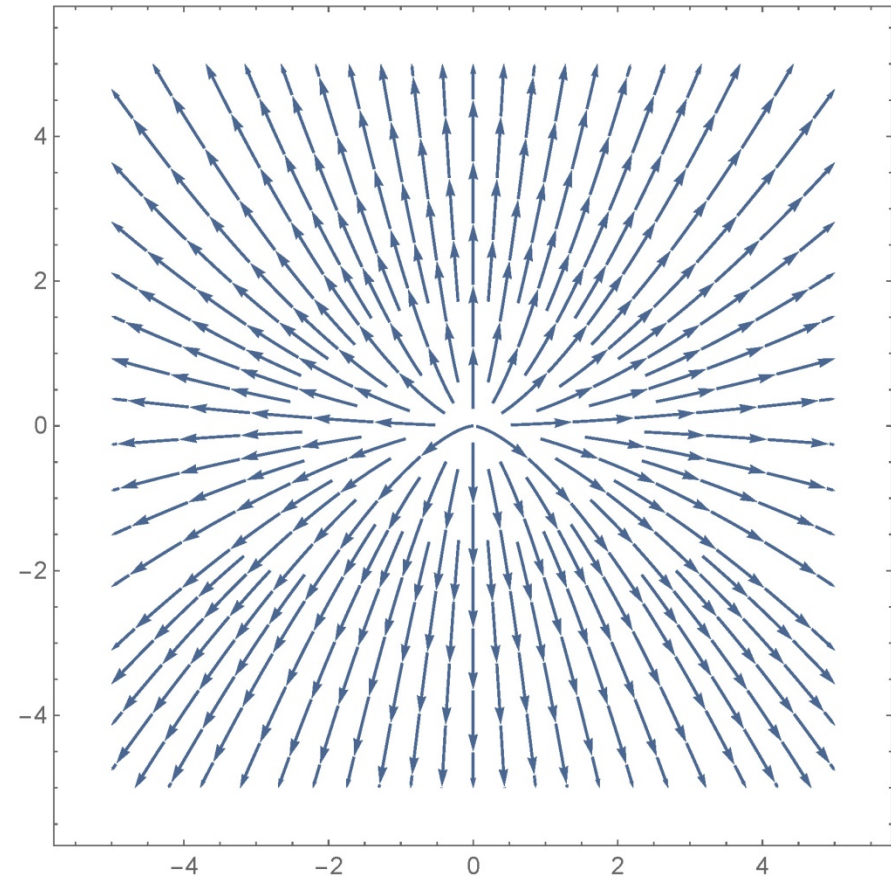
$$\Delta > 0 \text{ und } \tau^2 - 4\Delta > 0$$

Knoten

■ $\tau < 0$: Stabil



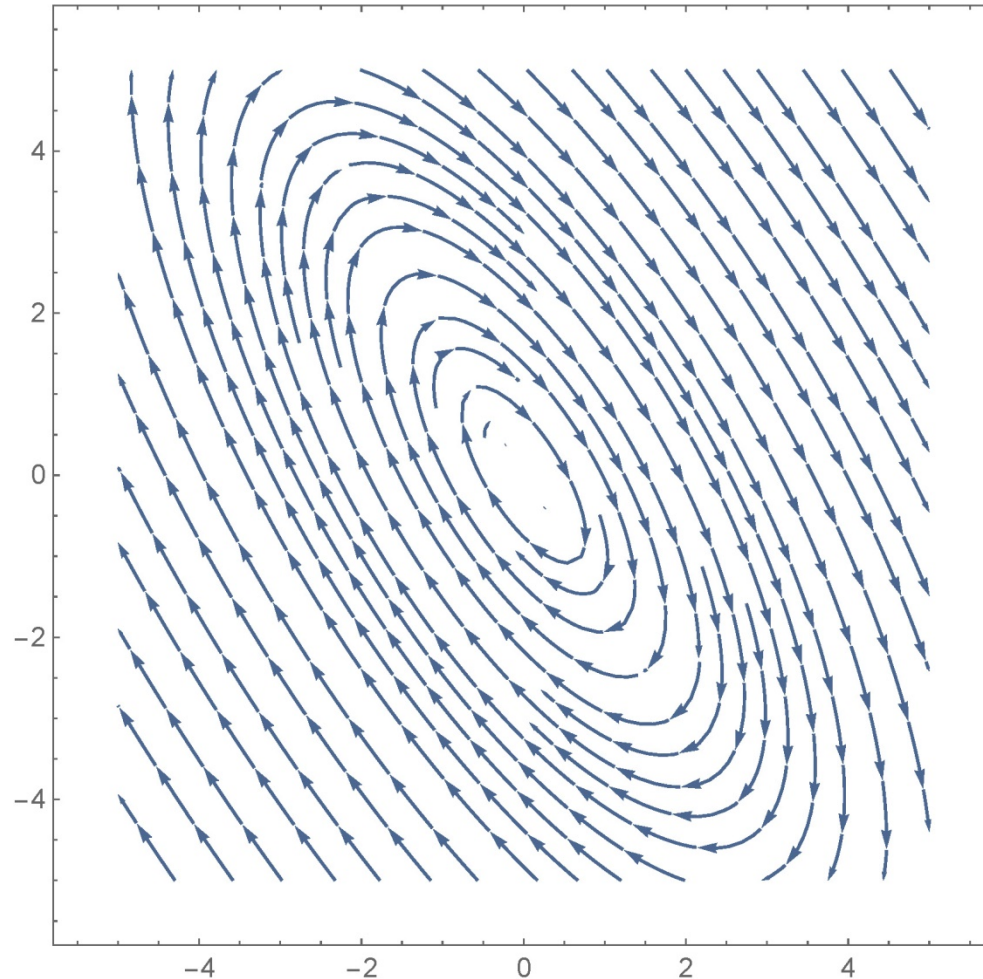
■ $\tau > 0$: Instabil



$$\Delta > 0 \text{ und } \tau^2 - 4\Delta < 0$$

Periodische Lösung

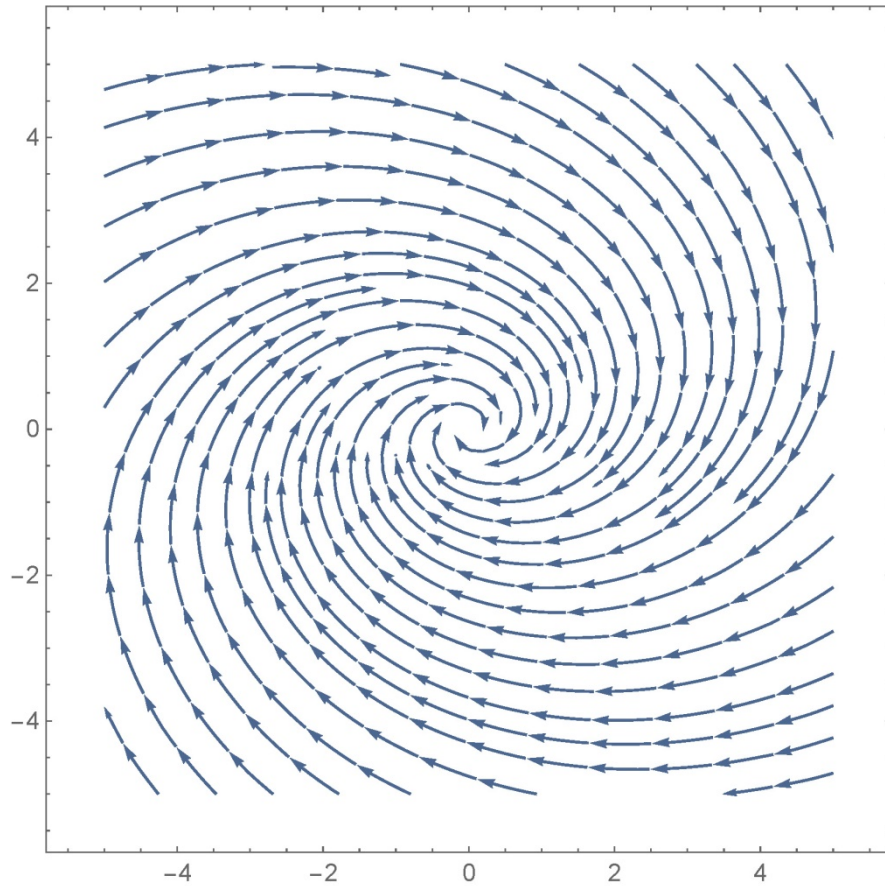
- $Re[\lambda_j] = 0$



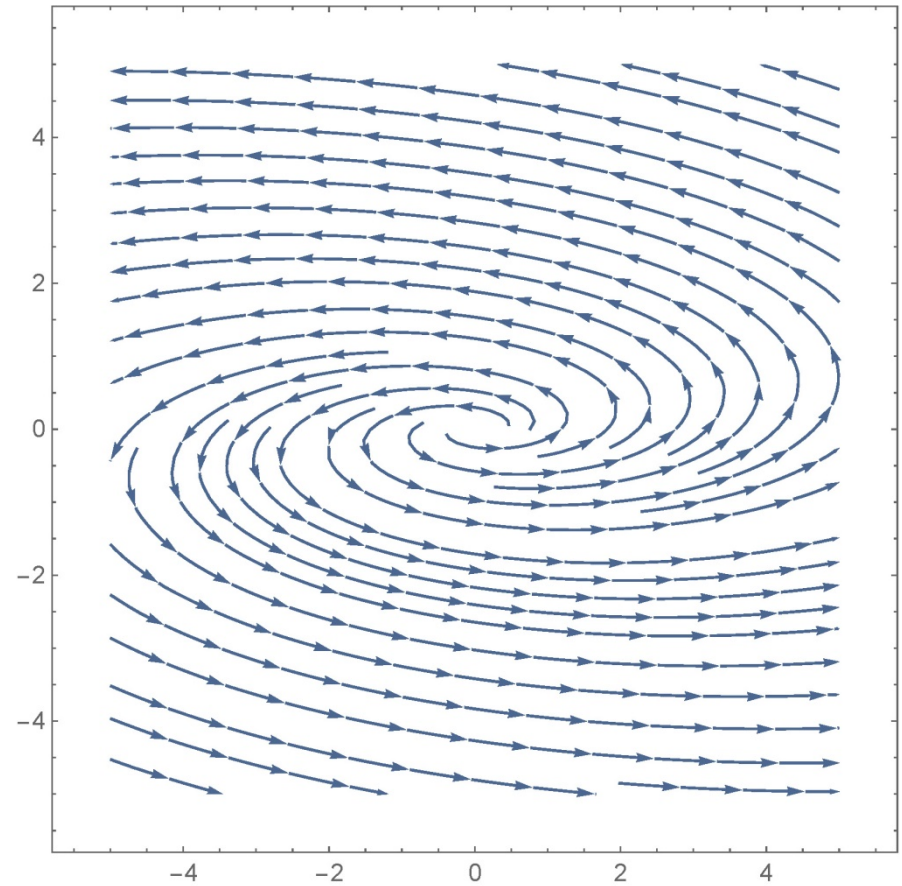
$$\Delta > 0 \text{ und } \tau^2 - 4\Delta < 0$$

Spirale

■ $Re[\lambda_j] < 0$: stabil

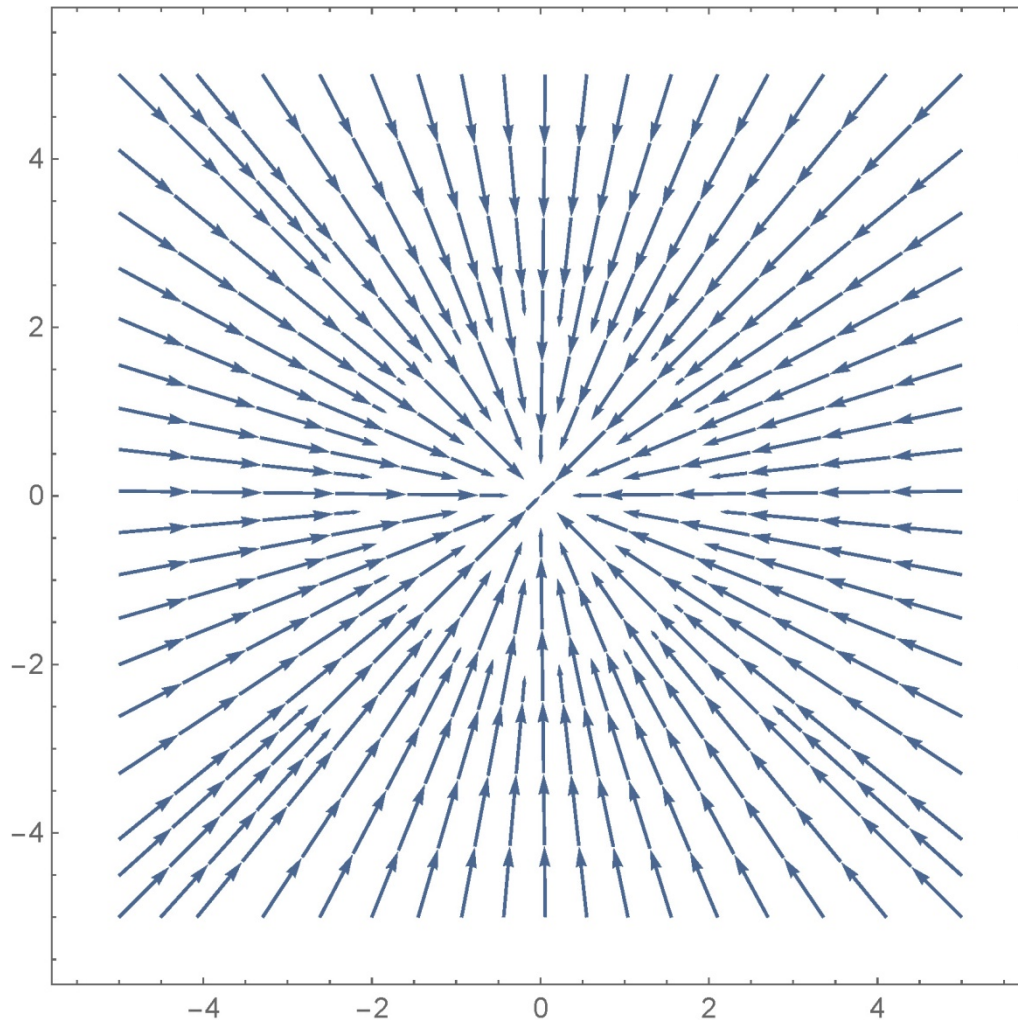


■ $Re[\lambda_j] > 0$: instabil



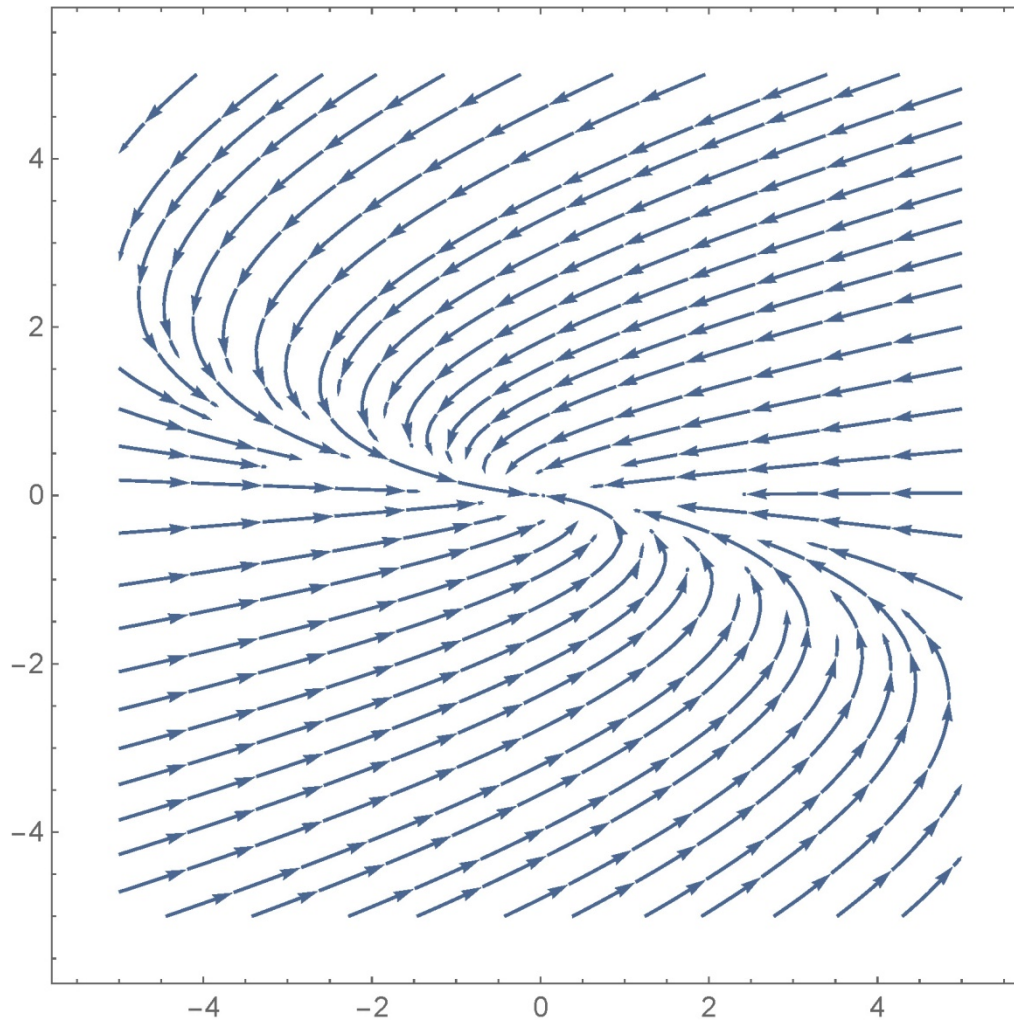
$$\lambda_1 = \lambda_2 = \lambda$$

Sonderfall: Stern-Knoten



$$\lambda_1 = \lambda_2 = \lambda, 1 \text{ EV}$$

Sonderfall: Entarteter-Knoten



Zusammenfassung

- Was haben wir bisher gelernt?
 - Fixpunkte zur Betrachtung der Dynamik
 - Stabilität graphisch oder analytisch bestimmen
 - Graphisch: Vektorflusses visualisieren
 - Analytisch: Lineare Stabilitätsanalyse
 - In 2D viel mehr Möglichkeiten als in 1D

Lotka-Volterra-Modelle

- Beschreiben Wechselwirkung von mehreren Populationen
- Beispiel: Räuber-Beute-Problem
 - Populationszahlen: N_1 (Beute), N_2 (Räuber)
 - Ungestörte Wachstumsrate: $\dot{N}_1 \propto \epsilon_1 N_1$
 $\dot{N}_2 \propto -\epsilon_2 N_2$
 - Begegnung Räuber-Beute: $\dot{N}_1 \propto -\gamma_1 N_1 N_2$
 $\dot{N}_2 \propto +\gamma_2 N_1 N_2$

Lotka-Volterra-Modelle

- Insgesamt also:
$$\begin{aligned}\dot{N}_1 &= \epsilon_1 N_1 - \gamma_1 N_1 N_2 \\ \dot{N}_2 &= -\epsilon_2 N_2 - \gamma_2 N_1 N_2\end{aligned}$$
- Betrachte die Dynamik mit „Mathematica“!

Quellenverzeichnis

- Strogatz, Steven H. (1994): Nonlinear Dynamics and Chaos. Massachusetts
- Suter, Dieter (2010): Skript zur Vorlesung „Analytische Mechanik“. [cited 02.06.2015].
https://e3.physik.uni-dortmund.de/~suter/Vorlesung/Physik_III_WS10/2.8_Chaos.pdf
- [cited 29.05.2015]
[http://de.wikipedia.org/wiki/Kritischer_Punkt_\(Dynamik\)](http://de.wikipedia.org/wiki/Kritischer_Punkt_(Dynamik))